

TFM

Juan Alberto Gomez Sanchez

28 de marzo de 2018

Preparación del documento

En el presente documento se resume el código utilizado para la realización del proyecto, incluyendo la descripción de cada proceso realizado y la explicación de los resultados obtenidos.

El primer paso es indicar el directorio de trabajo que se va a utilizar, en el deben de estar incluidos los diferentes grupos de datos que se van a utilizar, tanto la matriz de expresión en formato .txt como la carpeta con todos los archivos en formato .CEL.

```
setwd("C:/Users/Juanal/Desktop/Bioinformatica/TFM/Datos")
```

Ahora se van a instalar los paquetes necesarios para realizar todas las funciones del proyecto, en primer lugar se instalan los paquetes correspondientes al repositorio CRAN y posteriormente los correspondientes a Bioconductor.

```
chooseCRANmirror(graphics =getOption("menu.graphics"), ind = 1, local.only = FALSE)
```

```
install.packages("factoextra")
```

```
## Installing package into 'C:/Users/Juanal/Documents/R/win-library/3.5'  
## (as 'lib' is unspecified)
```

```
## Warning: package 'factoextra' is in use and will not be installed
```

```
install.packages("ggplot2")
```

```
## Installing package into 'C:/Users/Juanal/Documents/R/win-library/3.5'  
## (as 'lib' is unspecified)
```

```
## Warning: package 'ggplot2' is in use and will not be installed
```

```
install.packages("cluster")
```

```
## Installing package into 'C:/Users/Juanal/Documents/R/win-library/3.5'  
## (as 'lib' is unspecified)
```

```
## Warning: package 'cluster' is in use and will not be installed
```

```
install.packages("FactoMineR")
```

```
## Installing package into 'C:/Users/Juanal/Documents/R/win-library/3.5'  
## (as 'lib' is unspecified)
```

```
## Warning: package 'FactoMineR' is in use and will not be installed
```

```
install.packages("clValid")
```

```
## Installing package into 'C:/Users/Juanal/Documents/R/win-library/3.5'  
## (as 'lib' is unspecified)
```

```
## package 'clValid' successfully unpacked and MD5 sums checked
```

```
##
```

```
## The downloaded binary packages are in
```

```
## C:\Users\Juanal\AppData\Local\Temp\RtmpoD9YKk\downloaded_packages
```

```

install.packages("bindrcpp")

## Installing package into 'C:/Users/Juanal/Documents/R/win-library/3.5'
## (as 'lib' is unspecified)

## Warning: package 'bindrcpp' is in use and will not be installed
install.packages("mclust")

## Installing package into 'C:/Users/Juanal/Documents/R/win-library/3.5'
## (as 'lib' is unspecified)

## Warning: package 'mclust' is in use and will not be installed
install.packages("optCluster")

## Installing package into 'C:/Users/Juanal/Documents/R/win-library/3.5'
## (as 'lib' is unspecified)

## Warning: package 'optCluster' is in use and will not be installed
library(factoextra)
library(cluster)
library(FactoMineR)

source("https://bioconductor.org/biocLite.R")

## Bioconductor version 3.7 (BiocInstaller 1.30.0), ?biocLite for help
biocLite("GEOquery")

## BioC_mirror: https://bioconductor.org
## Using Bioconductor 3.7 (BiocInstaller 1.30.0), R 3.5.0 (2018-04-23).
## Installing package(s) 'GEOquery'
## Warning: package 'GEOquery' is in use and will not be installed
## installation path not writeable, unable to update packages: MASS, survival
## Old packages: 'data.table', 'kohonen', 'openxlsx', 'pillar', 'stringi',
##   'utf8'
biocLite("preprocessCore")

## BioC_mirror: https://bioconductor.org
## Using Bioconductor 3.7 (BiocInstaller 1.30.0), R 3.5.0 (2018-04-23).
## Installing package(s) 'preprocessCore'
## Warning: package 'preprocessCore' is in use and will not be installed
## installation path not writeable, unable to update packages: MASS, survival
## Old packages: 'data.table', 'kohonen', 'openxlsx', 'pillar', 'stringi',
##   'utf8'
biocLite("genefilter")

## BioC_mirror: https://bioconductor.org
## Using Bioconductor 3.7 (BiocInstaller 1.30.0), R 3.5.0 (2018-04-23).
## Installing package(s) 'genefilter'

```

```

## Warning: package 'genefilter' is in use and will not be installed
## installation path not writeable, unable to update packages: MASS, survival
## Old packages: 'data.table', 'kohonen', 'openxlsx', 'pillar', 'stringi',
##   'utf8'
biocLite("hgu133plus2")

## BioC_mirror: https://bioconductor.org
## Using Bioconductor 3.7 (BiocInstaller 1.30.0), R 3.5.0 (2018-04-23).
## Installing package(s) 'hgu133plus2'
## Warning: package 'hgu133plus2' is not available (for R version 3.5.0)
## installation path not writeable, unable to update packages: MASS, survival
## Old packages: 'data.table', 'kohonen', 'openxlsx', 'pillar', 'stringi',
##   'utf8'
biocLite("affy")

## BioC_mirror: https://bioconductor.org
## Using Bioconductor 3.7 (BiocInstaller 1.30.0), R 3.5.0 (2018-04-23).
## Installing package(s) 'affy'
## Warning: package 'affy' is in use and will not be installed
## installation path not writeable, unable to update packages: MASS, survival
## Old packages: 'data.table', 'kohonen', 'openxlsx', 'pillar', 'stringi',
##   'utf8'
biocLite("annotate")

## BioC_mirror: https://bioconductor.org
## Using Bioconductor 3.7 (BiocInstaller 1.30.0), R 3.5.0 (2018-04-23).
## Installing package(s) 'annotate'
## Warning: package 'annotate' is in use and will not be installed
## installation path not writeable, unable to update packages: MASS, survival
## Old packages: 'data.table', 'kohonen', 'openxlsx', 'pillar', 'stringi',
##   'utf8'
biocLite("GO.db")

## BioC_mirror: https://bioconductor.org
## Using Bioconductor 3.7 (BiocInstaller 1.30.0), R 3.5.0 (2018-04-23).
## Installing package(s) 'GO.db'
## installing the source package 'GO.db'
## installation path not writeable, unable to update packages: MASS, survival
## Old packages: 'data.table', 'kohonen', 'openxlsx', 'pillar', 'stringi',
##   'utf8'
biocLite("Biobase")

```

```

## BioC_mirror: https://bioconductor.org
## Using Bioconductor 3.7 (BiocInstaller 1.30.0), R 3.5.0 (2018-04-23).
## Installing package(s) 'Biobase'
## Warning: package 'Biobase' is in use and will not be installed
## installation path not writeable, unable to update packages: MASS, survival
## Old packages: 'data.table', 'kohonen', 'openxlsx', 'pillar', 'stringi',
##   'utf8'

library(Biobase)
library(preprocessCore)
library(GEOquery)
library(tidyr)
library(genefilter)
library(affy)
library(hgu133plus2.db)

```

Introducción

Obtención de los datos de expresión

Los datos se encuentran en un archivo tipo GSE proveniente de los servidores del ncbi, por lo cuál es necesario utilizar la función `getGEO` para obtenerlos.

Ahora a partir del set de datos se extraen los resultados fenotípicos de los pacientes con las funciones `phenoData` y `pData`. Estos se utilizarán para obtener las clases de cada muestra, que se utilizarán para realizar diferentes análisis de los datos.

```

gse <- getGEO(filename = "GSE5764_series_matrix.txt.gz")

## Parsed with column specification:
## cols(
##   .default = col_double(),
##   ID_REF = col_character()
## )

## See spec(...) for full column specifications.

## File stored at:

## C:\Users\Juanal\AppData\Local\Temp\RtmpoD9YKk/GPL570.soft
patient <- pData(phenoData(gse))

```

El tratamiento de la información fenotípica de los pacientes se lleva a cabo extrayendo la información que indica el tipo celular y el estado mediante la obtención de la primera columna del archivo `patient`.

A continuación se muestran las primeras líneas del archivo `patient` para poder observar como se almacena este tipo de información.

```

head(patient[1])

##           title
## GSM134584 6ILC_normal_ductal
## GSM134586 6ILC_normal_lobular
## GSM134587 6ILC_tumor_lobular

```

```

## GSM134588 9ILC_normal_ductal
## GSM134589 9ILC_normal_lobular
## GSM134591 9ILC_tumor_lobular

```

Para darle uniformidad a las clases se eliminan los elementos identificativos de cada paciente para dejar sólo la información de clase.

Se generan dos archivos, uno con las clases en forma numérica y otro con las clases en forma de caracteres resumidos. Para poder utilizarlo después se guardan en formato .csv.

```

clase <- patient[, 1]
clase <- as.character(clase)
clase.a <- substr(clase, 6, 20)
clase.a <- gsub("_", "", clase.a)
clase.a <- gsub(" ", "", clase.a)
clase.a <- as.matrix(clase.a)
row.names(clase.a) = row.names(patient)
colnames(clase.a) = "Clase"
clase.f <- clase.a
clase.f[clase.f == "normalductal"] = 1
clase.f[clase.f == "normallobular"] = 2
clase.f[clase.f == "tumorlobular"] = 3
clase.f[clase.f == "tumorductal"] = 4
clase.f <- as.vector(clase.f)
clase.a <- factor(clase.a, levels = c("normalductal", "normallobular", "tumorlobular",
                                         "tumorductal"))
clase <- as.data.frame(clase.a)
rownames(clase) <- rownames(patient)
write.csv(clase, file = "clase.csv")

```

Para facilitar la interpretación de los gráficos se van a crear unas abreviaturas para cada muestra, estas se incluyen en el siguiente data frame, donde se asocia cada muestra con su estado y tipo celular y su abreviatura asignada.

```

estadocel <- clase.f
estadocel[estadocel == 1] = "normal"
estadocel[estadocel == 2] = "normal"
estadocel[estadocel == 3] = "tumoral"
estadocel[estadocel == 4] = "tumoral"
tipocel <- clase.f
tipocel[tipocel == 1] = "ductal"
tipocel[tipocel == 4] = "ductal"
tipocel[tipocel == 2] = "lobular"
tipocel[tipocel == 3] = "lobular"
abreviatura <- c("1ND", "1NL", "1TL", "2ND", "2NL", "2TL", "3ND", "3NL", "3TL",
                 "4ND", "4NL", "4TL", "5ND", "5NL", "5TL", "6ND", "6NL", "1TD", "7ND", "7NL",
                 "2TD", "8ND", "8NL", "3TD", "9ND", "9NL", "4TD", "10ND", "10NL", "5TD")

```

```

resclases <- cbind(estadocel, tipocel, abreviatura)
rownames(resclases) <- rownames(clase)
as.data.frame(resclases)

```

```

##             estadocel tipocel abreviatura
## GSM134584      normal   ductal       1ND
## GSM134586      normal   lobular      1NL
## GSM134587     tumoral   lobular      1TL
## GSM134588      normal   ductal       2ND

```

```

## GSM134589    normal lobular      2NL
## GSM134591    tumoral lobular    2TL
## GSM134687    normal ductal      3ND
## GSM134688    normal lobular      3NL
## GSM134689    tumoral lobular    3TL
## GSM134690    normal ductal      4ND
## GSM134691    normal lobular      4NL
## GSM134692    tumoral lobular    4TL
## GSM134693    normal ductal      5ND
## GSM134694    normal lobular      5NL
## GSM134695    tumoral lobular    5TL
## GSM134696    normal ductal      6ND
## GSM134697    normal lobular      6NL
## GSM134698    tumoral ductal     1TD
## GSM134699    normal ductal      7ND
## GSM134700    normal lobular      7NL
## GSM134701    tumoral ductal     2TD
## GSM134702    normal ductal      8ND
## GSM134703    normal lobular      8NL
## GSM134704    tumoral ductal     3TD
## GSM134705    normal ductal      9ND
## GSM134706    normal lobular      9NL
## GSM134707    tumoral ductal     4TD
## GSM134708    normal ductal      10ND
## GSM134709   normal lobular      10NL
## GSM134710   tumoral ductal     5TD

```

En este punto se van a utilizar los archivos en formato .CEL, que se van a cargar con la función `read.affybatch`. El formato .CEL es el utilizado por Affymetrix para guardar la información de los estudios de intensidad de expresión genética, de forma que se puedan utilizar para extraer estos datos en colaboración con los archivos con la información fenotípica de las muestras. Para la información fenotípica que requiere esta función se carga el archivo .csv obtenido con la función `read.AnnotatedDataFrame` anteriormente con las clases.

```

celFiles <- list.celfiles("./GSE5764_RAW", full.names = TRUE)
my.targets <- read.AnnotatedDataFrame(file.path(getwd(), "clase.csv"), header = TRUE,
                                       row.names = 1, sep = ",")
rawData <- read.affybatch(filename = celFiles, phenoData = my.targets)

```

Debido a que la forma de los datos no es uniforme se debe escalar para que las medidas sean similares, para ello se utiliza la función `rma`. El resultado de este proceso se mejora implementando la anotación para este tipo de microarray.

El volumen de los datos es demasiado grande para ser procesado de manera eficiente por las funciones que se van a utilizar, por ello se plantea un filtro con la función `genefilter` que recogerá los datos de las probes más importantes, eliminando el resto.

El último paso de la preparación de los datos es generar un archivo con la matriz transpuesta, ya que algunas funciones utilizan esta forma.

```

eset_rma <- rma(rawData)

## Background correcting
## Normalizing
## Calculating Expression

annotation(eset_rma) <- "hg133plus2.db"
eset_filter <- nsFilter(eset_rma, var.cutoff = 0.99)
eset_filter <- eset_filter$eset

```

```

data <- exprs(eset_filter)
data.t <- t(data)
data.m <- data.t
rownames(data.t) <- abreviatura

```

Análisis de los datos

En este momento se tienen los datos preparados para realizar los diferentes procesos de clustering, pero antes de esto es necesario realizar una revisión del estado de los datos de forma que se pueda ver si alguno de los procesos preparatorios no se ha realizado correctamente o puede ser mejorado.

En primer lugar se muestran las dimensiones de los datos originales, antes de ser filtrados.

```
dim(eset_rma)
```

```

## Features Samples
##      54675      30

```

Debido al gran volumen de los datos muchos de los algoritmos no funcionaban de forma correcta, por lo cual se ha elegido un método de filtrado para reducir el volumen a una cantidad que pueda ser manejada de forma eficiente. El filtraje se realizó a un nivel de 0.99, lo que dejó un total de variables como las que se muestran.

```
dim(eset_filter)
```

```

## Features Samples
##      202      30

```

Ahora se realiza un sumario (**summary**) de las muestras, de esta forma se puede comprobar como los datos están escalados de tal forma que las medias de las muestras son similares y se distribuyen alrededor de valores cercanos.

También se analiza la distribución de las clases, lo que revela que dos tercios de las observaciones pertenecen a células no tumorales y la mitad son de cada tipo celular.

```

x <- summary(data)
x[, 1:30]

```

```

##   "GSM134584"    "GSM134586"    "GSM134587"    "GSM134588"
## Min. : 2.477   Min. : 2.671   Min. : 2.845   Min. : 2.555
## 1st Qu.: 3.615   1st Qu.: 4.341   1st Qu.: 4.523   1st Qu.: 5.152
## Median : 5.095   Median : 7.086   Median : 7.017   Median : 6.920
## Mean   : 6.096   Mean   : 6.788   Mean   : 6.766   Mean   : 6.775
## 3rd Qu.: 8.581   3rd Qu.: 8.709   3rd Qu.: 8.231   3rd Qu.: 8.310
## Max.  :13.126   Max.  :13.107   Max.  :12.618   Max.  :11.739
##   "GSM134589"    "GSM134591"    "GSM134687"    "GSM134688"
## Min. : 2.700   Min. : 2.672   Min. : 2.681   Min. : 2.583
## 1st Qu.: 5.113   1st Qu.: 5.215   1st Qu.: 5.614   1st Qu.: 4.060
## Median : 6.675   Median : 6.568   Median : 7.030   Median : 6.401
## Mean   : 6.728   Mean   : 6.762   Mean   : 7.126   Mean   : 6.518
## 3rd Qu.: 8.156   3rd Qu.: 8.325   3rd Qu.: 8.524   3rd Qu.: 8.691
## Max.  :12.003   Max.  :13.060   Max.  :13.461   Max.  :13.347
##   "GSM134689"    "GSM134690"    "GSM134691"    "GSM134692"
## Min. : 2.431   Min. : 2.554   Min. : 2.473   Min. : 2.625
## 1st Qu.: 4.316   1st Qu.: 6.172   1st Qu.: 5.595   1st Qu.: 3.482
## Median : 6.617   Median : 7.079   Median : 7.492   Median : 4.248
## Mean   : 6.623   Mean   : 7.214   Mean   : 7.223   Mean   : 5.009
## 3rd Qu.: 8.346   3rd Qu.: 8.307   3rd Qu.: 8.740   3rd Qu.: 5.685

```

```

##  Max.    :13.146   Max.    :13.488   Max.    :13.446   Max.    :12.203
##  "GSM134693"      "GSM134694"     "GSM134695"     "GSM134696"
##  Min.    : 3.008   Min.    : 2.721   Min.    : 2.462   Min.    : 2.432
##  1st Qu.: 4.839   1st Qu.: 4.880   1st Qu.: 4.304   1st Qu.: 4.581
##  Median  : 6.318   Median  : 6.413   Median  : 5.786   Median  : 6.890
##  Mean    : 6.597   Mean    : 6.506   Mean    : 6.100   Mean    : 6.676
##  3rd Qu.: 7.760   3rd Qu.: 7.897   3rd Qu.: 7.296   3rd Qu.: 8.437
##  Max.    :11.898   Max.    :11.795   Max.    :12.327   Max.    :12.884
##  "GSM134697"      "GSM134698"     "GSM134699"     "GSM134700"
##  Min.    : 2.741   Min.    : 2.594   Min.    : 2.623   Min.    : 2.720
##  1st Qu.: 4.990   1st Qu.: 4.128   1st Qu.: 5.846   1st Qu.: 6.271
##  Median  : 7.013   Median  : 5.948   Median  : 7.128   Median  : 7.574
##  Mean    : 6.917   Mean    : 6.020   Mean    : 7.101   Mean    : 7.372
##  3rd Qu.: 8.698   3rd Qu.: 7.501   3rd Qu.: 8.552   3rd Qu.: 8.690
##  Max.    :13.088   Max.    :12.340   Max.    :12.437   Max.    :12.095
##  "GSM134701"      "GSM134702"     "GSM134703"     "GSM134704"
##  Min.    : 2.820   Min.    : 2.865   Min.    : 2.792   Min.    : 2.661
##  1st Qu.: 5.256   1st Qu.: 5.857   1st Qu.: 4.424   1st Qu.: 3.978
##  Median  : 7.187   Median  : 6.987   Median  : 5.816   Median  : 5.947
##  Mean    : 6.973   Mean    : 7.139   Mean    : 6.194   Mean    : 6.038
##  3rd Qu.: 8.556   3rd Qu.: 8.247   3rd Qu.: 7.467   3rd Qu.: 7.497
##  Max.    :12.835   Max.    :12.949   Max.    :12.967   Max.    :12.613
##  "GSM134705"      "GSM134706"     "GSM134707"     "GSM134708"
##  Min.    : 2.923   Min.    : 2.845   Min.    : 2.767   Min.    : 2.522
##  1st Qu.: 5.623   1st Qu.: 4.342   1st Qu.: 4.294   1st Qu.: 5.302
##  Median  : 6.620   Median  : 5.540   Median  : 5.442   Median  : 7.233
##  Mean    : 6.745   Mean    : 5.796   Mean    : 5.947   Mean    : 7.063
##  3rd Qu.: 7.912   3rd Qu.: 6.708   3rd Qu.: 7.116   3rd Qu.: 8.621
##  Max.    :12.112   Max.    :12.007   Max.    :13.155   Max.    :13.214
##  "GSM134709"      "GSM134710"
##  Min.    : 2.529   Min.    : 2.837
##  1st Qu.: 5.395   1st Qu.: 4.510
##  Median  : 7.424   Median  : 6.094
##  Mean    : 7.143   Mean    : 6.208
##  3rd Qu.: 8.523   3rd Qu.: 7.430
##  Max.    :13.152   Max.    :12.863

```

```
table(clase.a)
```

```

## clase.a
## normalductal normallobular tumorlobular tumorductal
##          10          10          5          5

```

```
prop.table(table(clase.a))
```

```

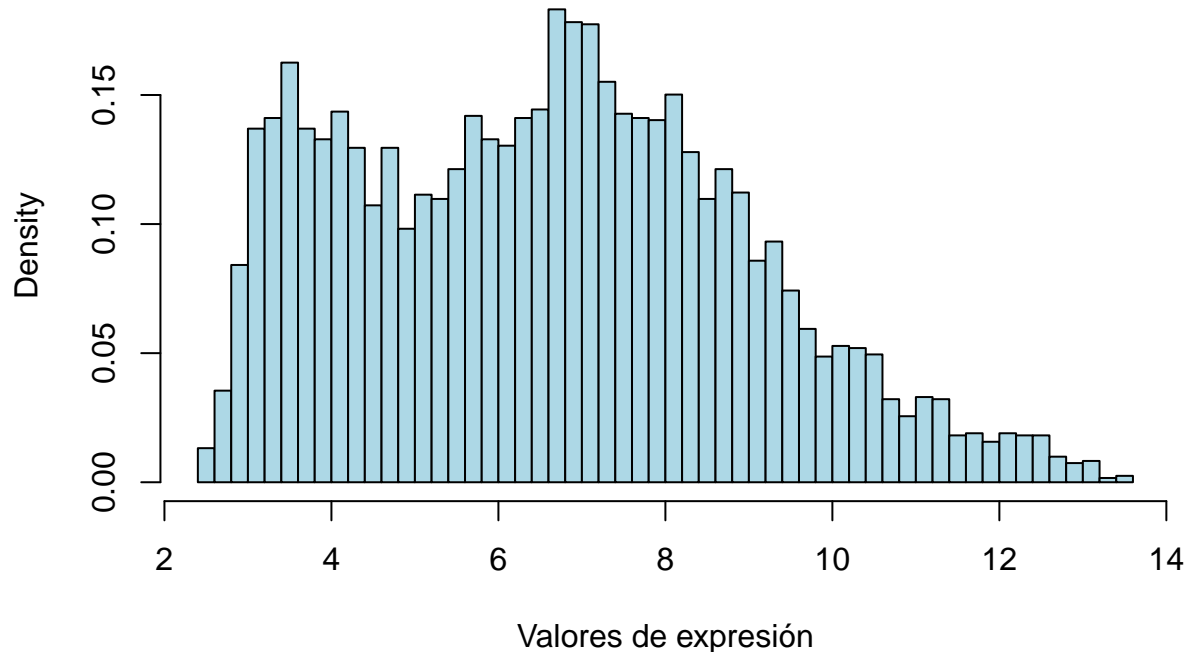
## clase.a
## normalductal normallobular tumorlobular tumorductal
## 0.3333333 0.3333333 0.1666667 0.1666667

```

En este punto se pueden realizar varias representaciones gráficas que aporten una idea general de los datos. En primer lugar se realiza un histograma (`hist`) de densidad, cuyo resultado indica que la mayoría de las variables se distribuyen en la zona de valores entre 3 y 10 . Esto puede indicar un buen escalado de los datos.

```
hist(data, col = "lightblue", freq = F, breaks = 50, main = "Histograma de densidad de los datos",
      xlab = "Valores de expresión")
```

Histograma de densidad de los datos

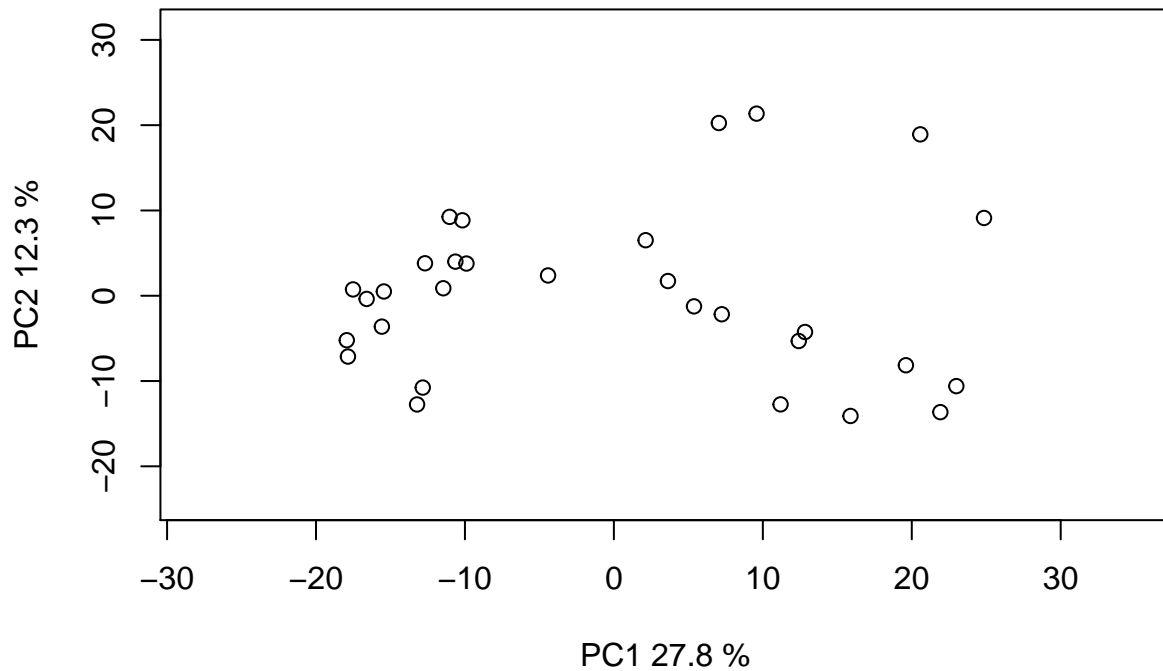


El segundo tipo de representación que se puede realizar es un gráfico de PCA, para ello es necesario crear una función donde se haga un análisis de las componentes principales de los datos y se representen en un gráfico de puntos las observaciones en función de estas componentes principales.

El resultado es una nube de puntos donde la mayoría se agrupan entre el -20% y el 25% de la componente 1 y -20% y 20% de la componente 2.

```
plotPCA <- function(X, labels = NULL, colors = NULL, dataDesc = "", scale = TRUE) {  
  pcX <- prcomp(X)  
  loads <- round(pcX$sdev^2/sum(pcX$sdev^2) * 100, 1)  
  xlab <- c(paste("PC1", loads[1], "%"))  
  ylab <- c(paste("PC2", loads[2], "%"))  
  if (is.null(colors))  
    colors = 1  
  plot(pcX$x[, 1:2], xlab = xlab, ylab = ylab, col = colors, xlim = c(min(pcX$x[, 1]) - 10, max(pcX$x[, 1]) + 10), ylim = c(min(pcX$x[, 2]) - 10, max(pcX$x[, 2]) + 10))  
  text(pcX$x[, 1], pcX$x[, 2], labels, pos = 3, cex = 0.8)  
  title("Representación de las dos componentes principales ", cex = 0.8)  
}  
plotPCA(data.m)
```

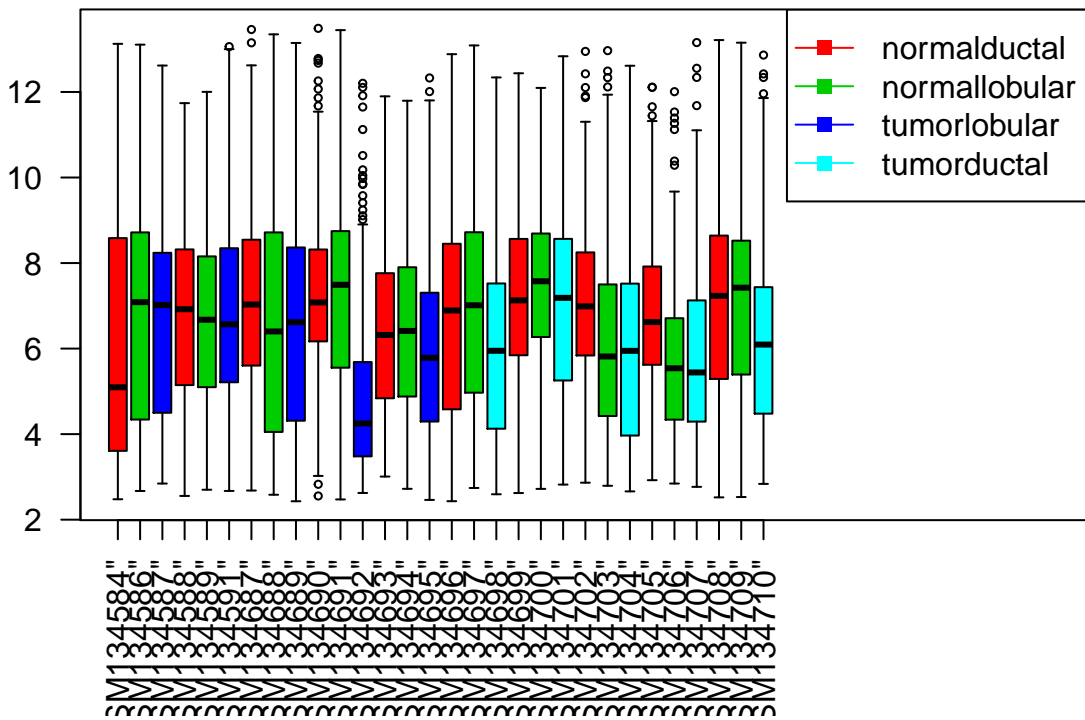
Representación de las dos componentes principales



La siguiente representación es un boxplot (boxplot), que muestra la distribución de valores de cada observación. En este caso se ha indicado la clase de cada observación con un color diferente para facilitar la observación de diferencias. A primera vista no se observan diferencias tangibles entre clases, con la excepción de las muestras de la clase tumoral ductal que parecen tener menores valores.

```
col <- paste((as.numeric(clase.f) + 1), sep = ",")  
boxplot(data, main = "Boxplot de la distribución escalada de cada muestra",  
        col = c(col), lty = 1, las = 2, xlim = c(1, 43), cex = 0.5)  
legend(x = "topright", legend = levels(clase.a), col = c(2, 3, 4, 5), lty = 1,  
       pch = 15)
```

Boxplot de la distribución escalada de cada muestra



Por último se va a utilizar el paquete `factoextra` para representar la distancia euclídea entre las diferentes observaciones. Como se observa la distancia es bastante baja entre la mayoría de las muestras.

```
mat_dist <- dist(x = data.m, method = "euclidean")
round(as.matrix(mat_dist)[1:30, 1:30], 2)
```

	"GSM134584"	"GSM134586"	"GSM134587"	"GSM134588"	"GSM134589"
"GSM134584"	0.00	37.54	39.83	45.59	43.97
"GSM134586"	37.54	0.00	36.95	42.25	39.17
"GSM134587"	39.83	36.95	0.00	41.62	39.79
"GSM134588"	45.59	42.25	41.62	0.00	16.17
"GSM134589"	43.97	39.17	39.79	16.17	0.00
"GSM134591"	44.86	42.26	33.79	39.02	36.70
"GSM134687"	34.50	29.04	35.08	38.55	36.89
"GSM134688"	35.91	34.39	39.12	42.07	39.97
"GSM134689"	45.35	45.17	38.18	44.69	43.69
"GSM134690"	38.42	33.11	35.99	36.36	33.49
"GSM134691"	40.87	34.40	39.32	37.74	34.81
"GSM134692"	45.70	49.59	45.36	51.04	50.30
"GSM134693"	39.78	34.41	29.86	44.77	42.52
"GSM134694"	41.68	37.02	31.55	46.40	44.31
"GSM134695"	47.11	45.47	38.26	50.39	48.40
"GSM134696"	44.52	39.21	40.52	32.14	30.79
"GSM134697"	43.62	36.42	39.16	31.61	29.58
"GSM134698"	51.83	49.01	41.03	50.17	48.35
"GSM134699"	39.05	33.25	33.07	34.81	33.40
"GSM134700"	41.56	35.47	33.77	36.17	34.07

## "GSM134701"	40.73	33.64	31.85	36.06	34.11
## "GSM134702"	42.97	37.41	29.12	38.13	35.92
## "GSM134703"	40.49	39.48	30.54	42.24	40.34
## "GSM134704"	44.50	46.39	37.81	43.99	42.80
## "GSM134705"	39.10	37.10	32.56	38.61	35.43
## "GSM134706"	40.83	41.39	37.63	41.27	38.54
## "GSM134707"	46.76	48.73	41.50	46.83	45.04
## "GSM134708"	41.69	39.64	40.67	32.73	32.31
## "GSM134709"	38.90	35.90	36.31	33.64	30.36
## "GSM134710"	45.38	46.01	37.98	43.63	42.39
## "GSM134591"	"GSM134687"	"GSM134688"	"GSM134689"	"GSM134690"	
## "GSM134584"	44.86	34.50	35.91	45.35	38.42
## "GSM134586"	42.26	29.04	34.39	45.17	33.11
## "GSM134587"	33.79	35.08	39.12	38.18	35.99
## "GSM134588"	39.02	38.55	42.07	44.69	36.36
## "GSM134589"	36.70	36.89	39.97	43.69	33.49
## "GSM134591"	0.00	40.14	43.23	33.09	41.28
## "GSM134687"	40.14	0.00	29.38	41.29	27.13
## "GSM134688"	43.23	29.38	0.00	45.41	33.14
## "GSM134689"	33.09	41.29	45.41	0.00	44.04
## "GSM134690"	41.28	27.13	33.14	44.04	0.00
## "GSM134691"	43.15	32.21	36.03	47.62	25.72
## "GSM134692"	43.12	49.68	49.84	42.27	51.20
## "GSM134693"	34.42	33.62	39.15	42.77	37.53
## "GSM134694"	35.41	36.68	41.74	43.62	40.18
## "GSM134695"	39.45	46.67	50.14	46.13	48.36
## "GSM134696"	43.51	34.19	37.77	47.56	33.84
## "GSM134697"	43.61	29.69	36.73	46.14	29.59
## "GSM134698"	38.54	48.82	51.35	44.13	51.00
## "GSM134699"	38.13	28.99	34.97	43.90	29.53
## "GSM134700"	36.81	30.81	38.84	44.96	30.42
## "GSM134701"	36.89	31.23	37.10	40.75	30.68
## "GSM134702"	30.73	33.76	39.67	32.72	33.75
## "GSM134703"	32.86	37.96	40.50	32.70	38.40
## "GSM134704"	35.07	43.04	45.37	33.13	44.28
## "GSM134705"	32.83	32.94	36.13	40.59	32.85
## "GSM134706"	36.97	40.34	40.53	41.44	39.84
## "GSM134707"	39.93	45.49	46.64	36.14	45.84
## "GSM134708"	39.34	31.88	36.58	44.44	33.16
## "GSM134709"	37.68	30.48	36.26	45.22	29.88
## "GSM134710"	35.05	42.15	46.33	33.08	44.58
## "GSM134691"	"GSM134692"	"GSM134693"	"GSM134694"	"GSM134695"	
## "GSM134584"	40.87	45.70	39.78	41.68	47.11
## "GSM134586"	34.40	49.59	34.41	37.02	45.47
## "GSM134587"	39.32	45.36	29.86	31.55	38.26
## "GSM134588"	37.74	51.04	44.77	46.40	50.39
## "GSM134589"	34.81	50.30	42.52	44.31	48.40
## "GSM134591"	43.15	43.12	34.42	35.41	39.45
## "GSM134687"	32.21	49.68	33.62	36.68	46.67
## "GSM134688"	36.03	49.84	39.15	41.74	50.14
## "GSM134689"	47.62	42.27	42.77	43.62	46.13
## "GSM134690"	25.72	51.20	37.53	40.18	48.36
## "GSM134691"	0.00	53.61	40.52	42.91	50.87
## "GSM134692"	53.61	0.00	44.36	44.34	41.95

## "GSM134693"	40.52	44.36	0.00	7.45	22.78
## "GSM134694"	42.91	44.34	7.45	0.00	20.53
## "GSM134695"	50.87	41.95	22.78	20.53	0.00
## "GSM134696"	36.99	51.56	42.95	45.36	52.16
## "GSM134697"	33.08	51.16	41.30	43.72	50.93
## "GSM134698"	54.41	39.53	31.25	31.17	26.75
## "GSM134699"	31.60	48.63	32.96	34.71	42.84
## "GSM134700"	32.33	51.50	31.49	33.32	40.92
## "GSM134701"	34.57	49.43	33.93	35.97	43.69
## "GSM134702"	37.45	43.21	29.63	31.26	36.50
## "GSM134703"	41.81	35.31	32.48	33.44	37.11
## "GSM134704"	47.40	34.95	40.80	41.56	41.62
## "GSM134705"	35.94	40.00	28.96	30.46	37.00
## "GSM134706"	43.16	33.68	33.77	34.73	36.06
## "GSM134707"	48.41	32.61	42.04	42.69	40.13
## "GSM134708"	36.00	52.03	39.49	41.31	49.95
## "GSM134709"	33.24	52.48	37.93	40.35	49.08
## "GSM134710"	47.96	35.62	37.30	37.41	36.80
## "GSM134696"	"GSM134697"	"GSM134698"	"GSM134699"	"GSM134700"	
## "GSM134584"	44.52	43.62	51.83	39.05	41.56
## "GSM134586"	39.21	36.42	49.01	33.25	35.47
## "GSM134587"	40.52	39.16	41.03	33.07	33.77
## "GSM134588"	32.14	31.61	50.17	34.81	36.17
## "GSM134589"	30.79	29.58	48.35	33.40	34.07
## "GSM134591"	43.51	43.61	38.54	38.13	36.81
## "GSM134687"	34.19	29.69	48.82	28.99	30.81
## "GSM134688"	37.77	36.73	51.35	34.97	38.84
## "GSM134689"	47.56	46.14	44.13	43.90	44.96
## "GSM134690"	33.84	29.59	51.00	29.53	30.42
## "GSM134691"	36.99	33.08	54.41	31.60	32.33
## "GSM134692"	51.56	51.16	39.53	48.63	51.50
## "GSM134693"	42.95	41.30	31.25	32.96	31.49
## "GSM134694"	45.36	43.72	31.17	34.71	33.32
## "GSM134695"	52.16	50.93	26.75	42.84	40.92
## "GSM134696"	0.00	26.28	52.75	30.88	33.87
## "GSM134697"	26.28	0.00	51.33	30.24	32.50
## "GSM134698"	52.75	51.33	0.00	46.13	45.40
## "GSM134699"	30.88	30.24	46.13	0.00	22.92
## "GSM134700"	33.87	32.50	45.40	22.92	0.00
## "GSM134701"	33.76	32.59	46.68	26.49	28.52
## "GSM134702"	38.32	36.14	37.09	29.19	31.49
## "GSM134703"	41.22	40.44	37.47	34.14	38.24
## "GSM134704"	44.15	44.79	39.67	40.06	44.12
## "GSM134705"	37.90	35.02	35.61	30.39	31.94
## "GSM134706"	41.48	40.94	33.86	37.06	39.89
## "GSM134707"	49.93	48.23	36.41	44.01	47.57
## "GSM134708"	29.92	30.79	50.71	30.50	32.65
## "GSM134709"	31.26	29.30	50.61	31.29	30.71
## "GSM134710"	48.51	47.02	32.58	42.36	44.21
## "GSM134701"	"GSM134702"	"GSM134703"	"GSM134704"	"GSM134705"	
## "GSM134584"	40.73	42.97	40.49	44.50	39.10
## "GSM134586"	33.64	37.41	39.48	46.39	37.10
## "GSM134587"	31.85	29.12	30.54	37.81	32.56
## "GSM134588"	36.06	38.13	42.24	43.99	38.61

## "GSM134589"	34.11	35.92	40.34	42.80	35.43
## "GSM134591"	36.89	30.73	32.86	35.07	32.83
## "GSM134687"	31.23	33.76	37.96	43.04	32.94
## "GSM134688"	37.10	39.67	40.50	45.37	36.13
## "GSM134689"	40.75	32.72	32.70	33.13	40.59
## "GSM134690"	30.68	33.75	38.40	44.28	32.85
## "GSM134691"	34.57	37.45	41.81	47.40	35.94
## "GSM134692"	49.43	43.21	35.31	34.95	40.00
## "GSM134693"	33.93	29.63	32.48	40.80	28.96
## "GSM134694"	35.97	31.26	33.44	41.56	30.46
## "GSM134695"	43.69	36.50	37.11	41.62	37.00
## "GSM134696"	33.76	38.32	41.22	44.15	37.90
## "GSM134697"	32.59	36.14	40.44	44.79	35.02
## "GSM134698"	46.68	37.09	37.47	39.67	35.61
## "GSM134699"	26.49	29.19	34.14	40.06	30.39
## "GSM134700"	28.52	31.49	38.24	44.12	31.94
## "GSM134701"	0.00	32.17	36.16	41.91	32.86
## "GSM134702"	32.17	0.00	18.89	26.93	26.66
## "GSM134703"	36.16	18.89	0.00	21.69	29.07
## "GSM134704"	41.91	26.93	21.69	0.00	36.08
## "GSM134705"	32.86	26.66	29.07	36.08	0.00
## "GSM134706"	39.72	30.72	26.84	32.51	22.59
## "GSM134707"	45.65	33.52	29.25	28.33	33.21
## "GSM134708"	32.71	35.76	41.30	43.52	34.53
## "GSM134709"	32.26	35.64	40.83	44.64	33.85
## "GSM134710"	42.77	32.89	30.25	30.94	32.86
## "GSM134706" "GSM134707" "GSM134708" "GSM134709" "GSM134710"					
## "GSM134584"	40.83	46.76	41.69	38.90	45.38
## "GSM134586"	41.39	48.73	39.64	35.90	46.01
## "GSM134587"	37.63	41.50	40.67	36.31	37.98
## "GSM134588"	41.27	46.83	32.73	33.64	43.63
## "GSM134589"	38.54	45.04	32.31	30.36	42.39
## "GSM134591"	36.97	39.93	39.34	37.68	35.05
## "GSM134687"	40.34	45.49	31.88	30.48	42.15
## "GSM134688"	40.53	46.64	36.58	36.26	46.33
## "GSM134689"	41.44	36.14	44.44	45.22	33.08
## "GSM134690"	39.84	45.84	33.16	29.88	44.58
## "GSM134691"	43.16	48.41	36.00	33.24	47.96
## "GSM134692"	33.68	32.61	52.03	52.48	35.62
## "GSM134693"	33.77	42.04	39.49	37.93	37.30
## "GSM134694"	34.73	42.69	41.31	40.35	37.41
## "GSM134695"	36.06	40.13	49.95	49.08	36.80
## "GSM134696"	41.48	49.93	29.92	31.26	48.51
## "GSM134697"	40.94	48.23	30.79	29.30	47.02
## "GSM134698"	33.86	36.41	50.71	50.61	32.58
## "GSM134699"	37.06	44.01	30.50	31.29	42.36
## "GSM134700"	39.89	47.57	32.65	30.71	44.21
## "GSM134701"	39.72	45.65	32.71	32.26	42.77
## "GSM134702"	30.72	33.52	35.76	35.64	32.89
## "GSM134703"	26.84	29.25	41.30	40.83	30.25
## "GSM134704"	32.51	28.33	43.52	44.64	30.94
## "GSM134705"	22.59	33.21	34.53	33.85	32.86
## "GSM134706"	0.00	26.53	41.65	41.95	30.53
## "GSM134707"	26.53	0.00	48.73	49.45	23.04

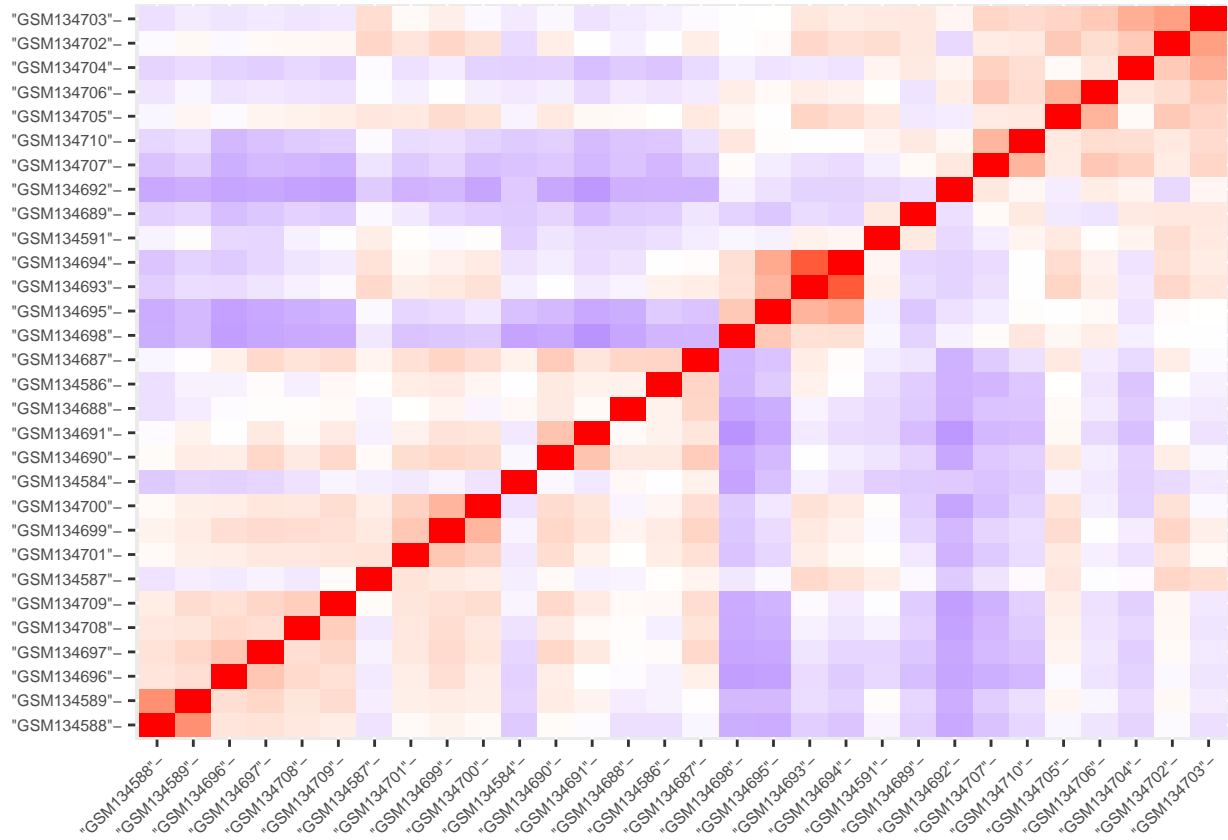
```

## "GSM134708"      41.65      48.73      0.00      27.68      45.40
## "GSM134709"      41.95      49.45     27.68      0.00      44.64
## "GSM134710"      30.53      23.04     45.40     44.64      0.00

```

Aprovechando las distancias obtenidas en el paso anterior se realiza un mapa de calor donde los colores mas rojos indican menor distancia, mientras los colores mas azules indican mayor distancia. Como se puede ver, hay algunas observaciones en la zona intermedia que tienen colores mas azules con la mayoría de las otras observaciones, también se observan zonas de mayor concentración roja en las últimas muestras.

```
fviz_dist(dist.obj = mat_dist, lab_size = 6) + theme(legend.position = "none")
```



Una vez analizados los datos y dando por hecho que están correctamente preparados se va a proceder a llevar a cabo la aplicación de los algoritmos de agrupamiento elegidos.

Aplicación de los algoritmos

El proceso a seguir para aplicar cada algoritmo sobre los datos es el siguiente.

En primer lugar se utilizará la función `optCluster`, indicando un intervalo de valores para k, con lo que se obtendrá una lista con los valores de k ordenados por su eficiencia, de mayor a menor.

Utilizando los valores obtenidos anteriormente se realizará una representación de cada algoritmo con sus dos mejores opciones en cuanto a valor de k. Para mantener una estabilidad en los procesos se indicará una semilla fija (123) para cada vez que se utilice la función `optCluster`.

Para determinar la eficiencia se utilizarán todos los medidores de internalidad, estabilidad y variación biológica que plantea dicha función.

Con el fin de que el resultado sea significativo se realizarán 1000 repeticiones de cada proceso.

Hierarchical

Obtención de el número óptimo de grupos

Para obtener los grupos óptimos para el algoritmo de hierarchical clustering es necesario indicar que el método de agrupamiento es completo.

```
library(optCluster)
optresult <- optCluster(data[, ], 2:5, clMethods = c("hierarchical"), validation = "all",
  annotation = "hgu133plus2.db", seed = 123, maxIter = 1000, hierMethod = "complete")
summary(optresult)

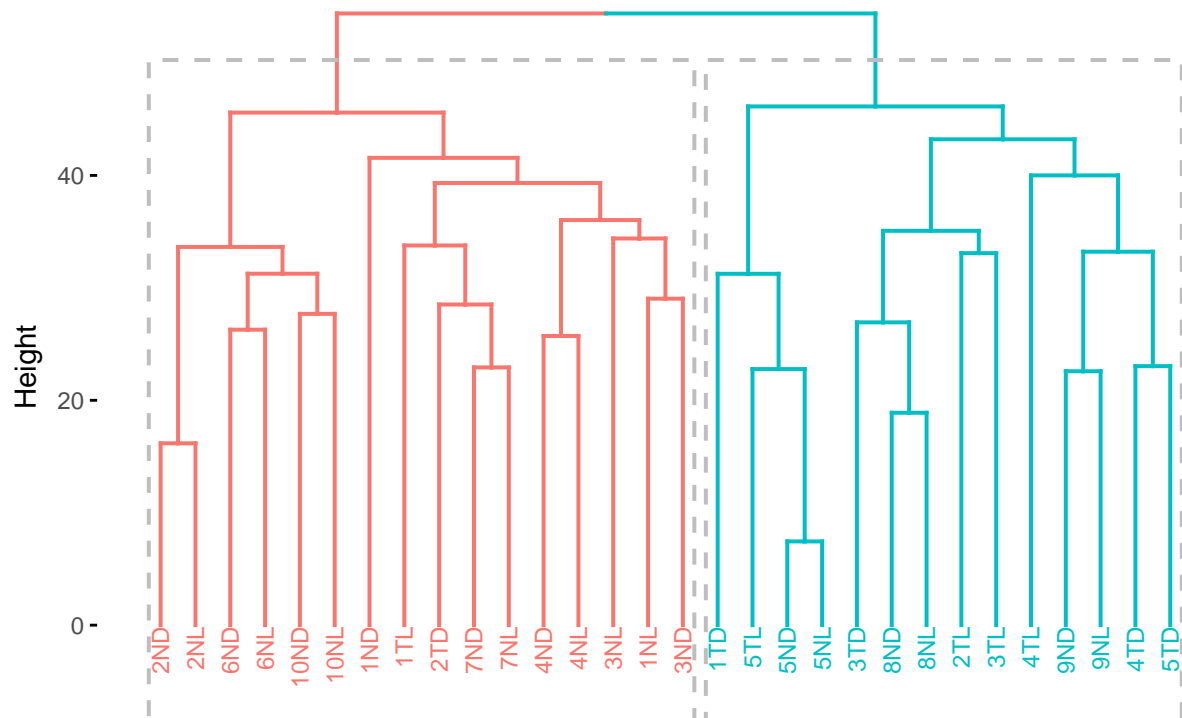
##
## Clustering Methods:
##   hierarchical
##
## Cluster sizes:
##   2 3 4 5
##
## Validation Measures:
##                               2      3      4      5
## hierarchical APN          0.1417  0.2613  0.3927  0.4254
##                 AD          15.8531 15.4282 15.0461 14.4532
##                 ADM         2.0677  3.9373  4.5007  4.5357
##                 FOM         2.0421  1.9810  1.9223  1.8586
##                 Connectivity 26.1869 90.5337 91.2266 91.8960
##                 Dunn        0.2168  0.2354  0.2382  0.2529
##                 Silhouette  0.3040  0.1200  0.1235  0.1037
##                 BHI         0.3514  0.3313  0.3556  0.3374
##                 BSI         0.7196  0.5716  0.4291  0.3388
##
## Optimal Scores:
##
##             Score      Method Clusters
## APN       0.1417 hierarchical      2
## AD        14.4532 hierarchical     5
## ADM       2.0677 hierarchical      2
## FOM       1.8586 hierarchical      5
## Connectivity 26.1869 hierarchical  2
## Dunn      0.2529 hierarchical      5
## Silhouette 0.3040 hierarchical      2
## BHI       0.3556 hierarchical      4
## BSI       0.7196 hierarchical      2
##
## The overall optimal clustering method and number of clusters is:
##   hierarchical-2
##
## The optimal list is:
##   hierarchical-2 hierarchical-4 hierarchical-5 hierarchical-3
##
## Algorithm: CE
## Distance: Spearman
## Score: 2.079421
## Iterations: 7
```

Para este algoritmo el número óptimo de grupos es 2, mientras el segundo mejor es 4. En estas representaciones se utiliza un dendrograma, la separación por grupos se lleva a cabo por colores en las ramas de dicho dendrograma.

k=2

```
data.dis <- dist(as.data.frame(data.t), method = "euclidean")
hc <- hclust(data.dis, method = "complete")
fviz_dend(x = hc, k = 2, cex = 0.6, rect = TRUE, labels_track_height = 8)
```

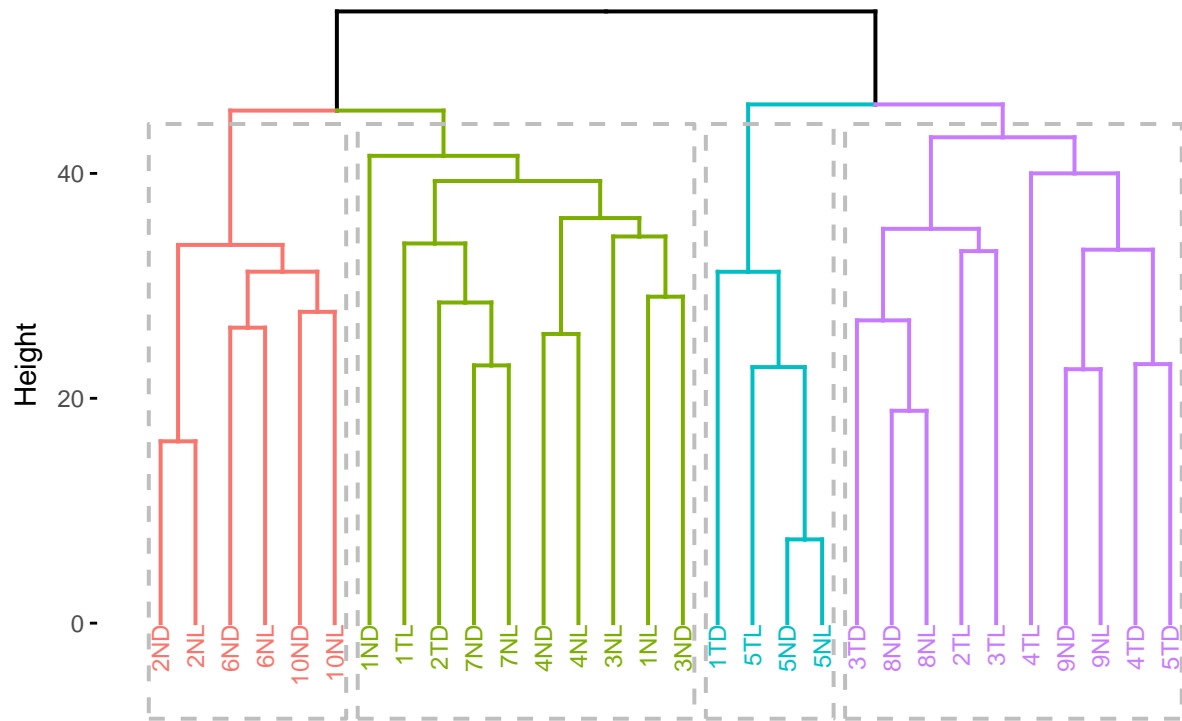
Cluster Dendrogram



k=4

```
data.dis <- dist(as.data.frame(data.t), method = "euclidean")
hc <- hclust(data.dis, method = "complete")
fviz_dend(x = hc, k = 4, cex = 0.6, rect = TRUE, labels_track_height = 8)
```

Cluster Dendrogram



AGNES

Obtención de el número óptimo de grupos

```
optresult <- optCluster(data[, ], 2:5, clMethods = c("agnes"), validation = "all",
    annotation = "hgu133plus2.db", seed = 123, maxIter = 1000, hierMethod = "complete")
summary(optresult)
```

```
##
## Clustering Methods:
##   agnes
##
## Cluster sizes:
##   2 3 4 5
##
## Validation Measures:
##
```

	2	3	4	5
## agnes APN	0.1417	0.2613	0.3927	0.4254
## AD	15.8531	15.4282	15.0461	14.4532
## ADM	2.0677	3.9373	4.5007	4.5357
## FOM	2.0421	1.9810	1.9223	1.8586
## Connectivity	26.1869	90.5337	91.2266	91.8960
## Dunn	0.2168	0.2354	0.2382	0.2529

```

##      Silhouette    0.3040  0.1200  0.1235  0.1037
##      BHI          0.3514  0.3313  0.3556  0.3374
##      BSI          0.7196  0.5716  0.4291  0.3388
##
## Optimal Scores:
##
##           Score Method Clusters
## APN       0.1417 agnes      2
## AD        14.4532 agnes     5
## ADM       2.0677 agnes      2
## FOM       1.8586 agnes      5
## Connectivity 26.1869 agnes      2
## Dunn      0.2529 agnes      5
## Silhouette 0.3040 agnes      2
## BHI       0.3556 agnes      4
## BSI        0.7196 agnes      2
##
## The overall optimal clustering method and number of clusters is:
##      agnes-2
##
## The optimal list is:
##      agnes-2 agnes-4 agnes-5 agnes-3
##
## Algorithm: CE
## Distance: Spearman
## Score: 2.079421
## Iterations: 7

```

Para este algoritmo se obtienen valores de 2 y 4, en ese orden como valores óptimos. La función se configura de forma similar al algoritmo hierarchical clustering y su representación es en forma de dendrograma también.

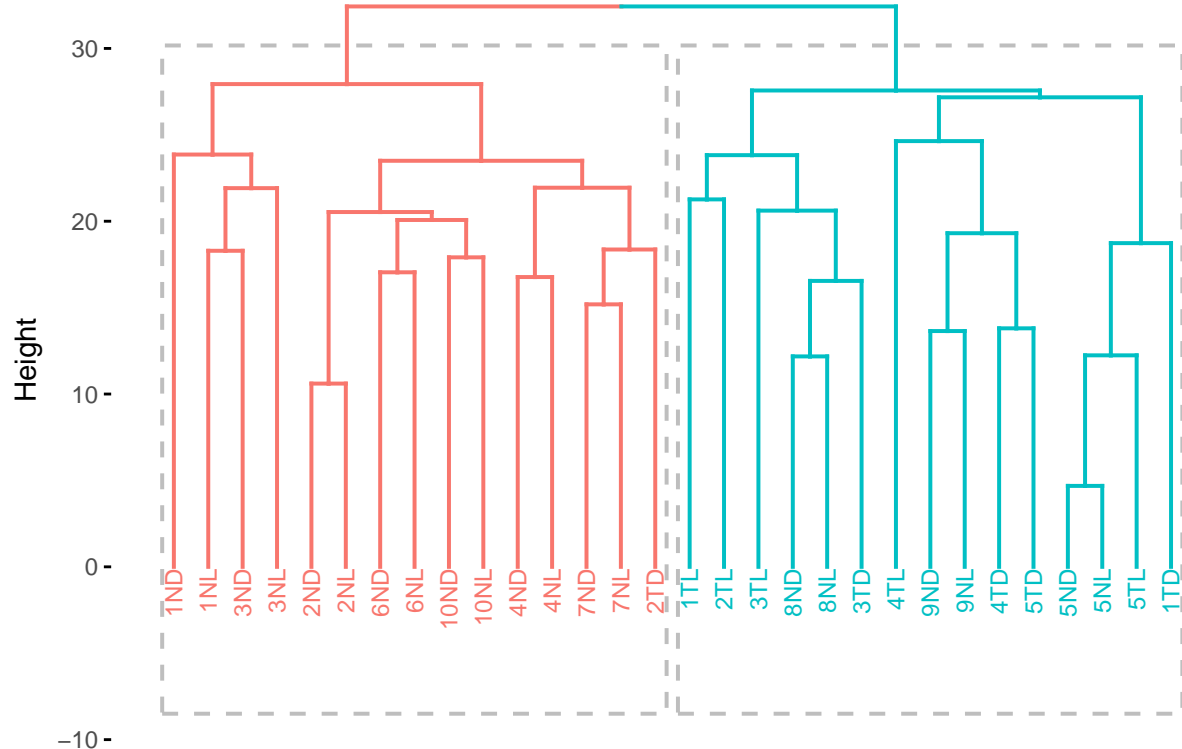
k=2

```

agnes1 <- agnes(as.data.frame(data.t), diss = FALSE, metric = "euclidean", stand = TRUE,
method = "complete")
fviz_dend(x = agnes1, k = 2, cex = 0.6, rect = TRUE, labels_track_height = 8)

```

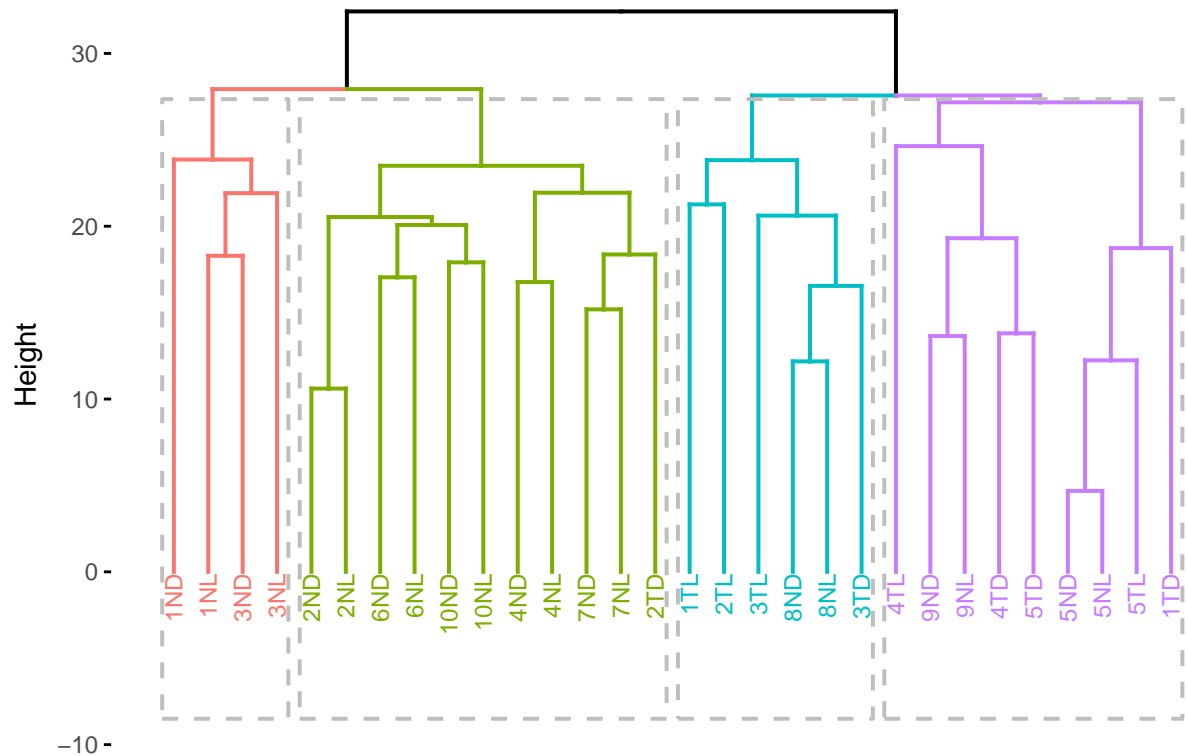
Cluster Dendrogram



k=4

```
agnes1 <- agnes(as.data.frame(data.t), diss = FALSE, metric = "euclidean", stand = TRUE,
  method = "complete")
fviz_dend(x = agnes1, k = 4, cex = 0.6, rect = TRUE, labels_track_height = 8)
```

Cluster Dendrogram



DIANA

Obtención de el número óptimo de grupos

```
optresult <- optCluster(data[, ], 2:5, clMethods = c("diana"), validation = "all",
    annotation = "hgu133plus2.db", seed = 123, maxIter = 1000, hierMethod = "complete")
summary(optresult)
```

```
##
## Clustering Methods:
##   diana
##
## Cluster sizes:
##   2 3 4 5
##
## Validation Measures:
##
```

	2	3	4	5
## diana APN	0.0126	0.0473	0.0577	0.0975
## AD	14.9668	14.1683	13.8255	13.5816
## ADM	0.2382	0.6111	0.8002	1.4599
## FOM	2.0070	1.9222	1.8878	1.8532
## Connectivity	36.8310	88.9401	93.6119	102.6702
## Dunn	0.2525	0.2589	0.2880	0.2699

```

##      Silhouette    0.2502   0.1530   0.1515   0.1282
##      BHI          0.2924   0.2889   0.3350   0.3296
##      BSI          0.6682   0.4343   0.4161   0.3929
##
## Optimal Scores:
##
##           Score Method Clusters
## APN        0.0126 diana      2
## AD         13.5816 diana      5
## ADM        0.2382 diana      2
## FOM        1.8532 diana      5
## Connectivity 36.8310 diana      2
## Dunn       0.2880 diana      4
## Silhouette  0.2502 diana      2
## BHI        0.3350 diana      4
## BSI        0.6682 diana      2
##
## The overall optimal clustering method and number of clusters is:
##      diana-2
##
## The optimal list is:
##      diana-2 diana-4 diana-3 diana-5
##
## Algorithm: CE
## Distance: Spearman
## Score:     2.34971
## Iterations: 7

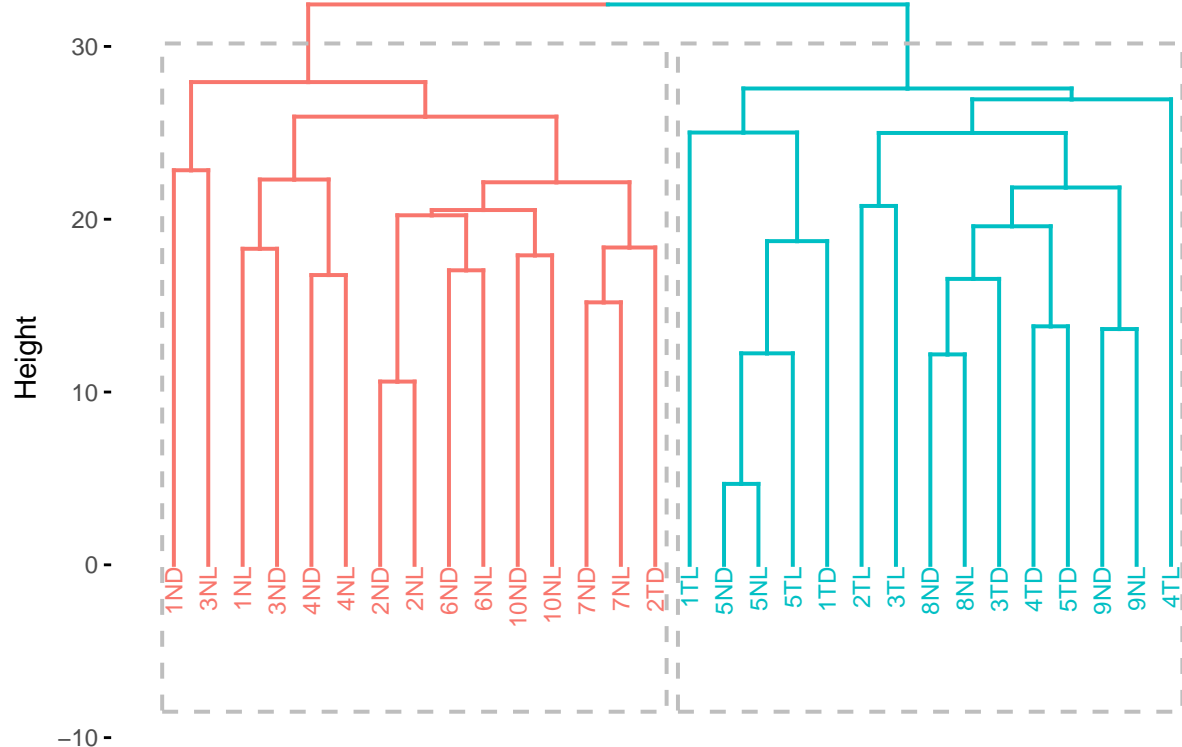
```

El algoritmo DIANA obtiene como óptimos los valores 2 y 4, su representación es en dendrograma también.

k=2

```
diana1 <- diana(as.data.frame(data.t), diss = FALSE, stand = TRUE, metric = "euclidean")
fviz_dend(x = diana1, k = 2, cex = 0.6, rect = TRUE, labels_track_height = 8)
```

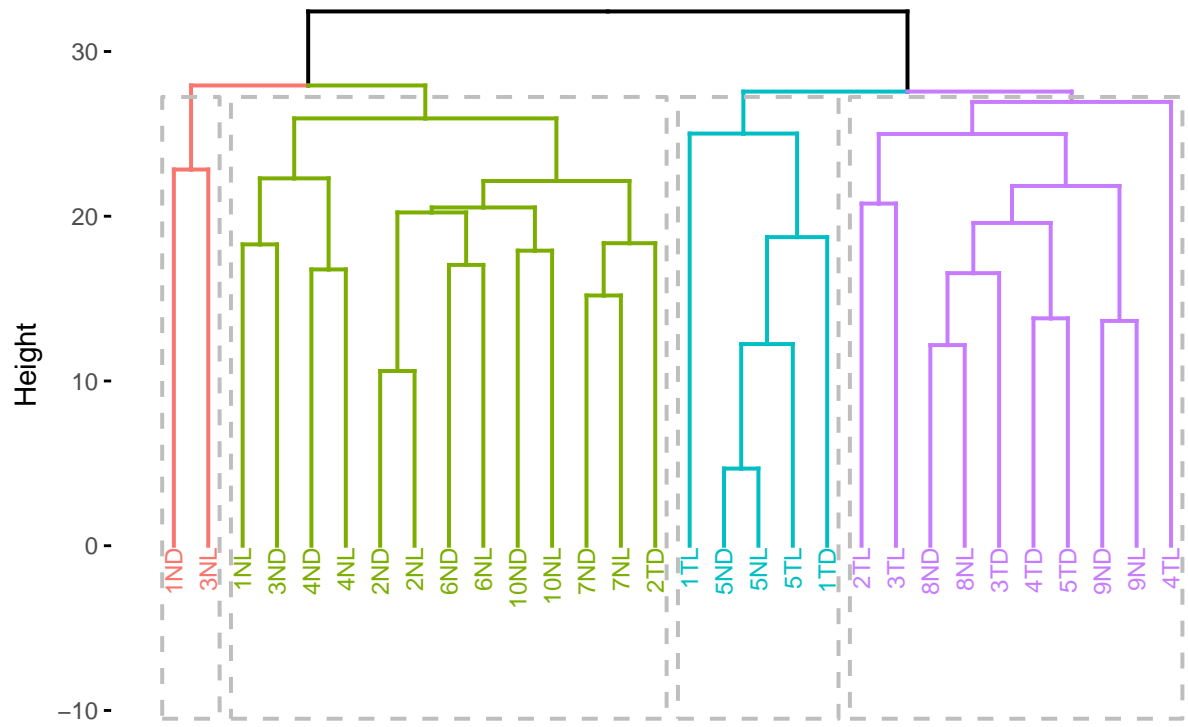
Cluster Dendrogram



k=4

```
diana2 <- diana(as.data.frame(data.t), diss = FALSE, stand = TRUE, metric = "euclidean")
fviz_dend(x = diana2, k = 4, cex = 0.6, rect = TRUE, labels_track_height = 10)
```

Cluster Dendrogram



K-means

Obtención de el número óptimo de grupos

```
optresult <- optCluster(data[, ], 2:5, clMethods = c("kmeans"), validation = "all",
    annotation = "hgu133plus2.db", seed = 123, maxIter = 1000)
summary(optresult)
```

```
##
## Clustering Methods:
##   kmeans
##
## Cluster sizes:
##   2 3 4 5
##
## Validation Measures:
##
```

	2	3	4	5
## kmeans APN	0.0282	0.0467	0.0819	0.2775
## AD	14.9935	14.1376	13.4948	13.5666
## ADM	0.4979	0.6971	1.2267	3.0983
## FOM	2.0234	1.9301	1.8281	1.7934
## Connectivity	50.4683	64.4766	103.2385	137.1218
## Dunn	0.2614	0.2616	0.2340	0.2673

```

##      Silhouette    0.2441    0.1887    0.1502    0.1305
##      BHI          0.2925    0.2987    0.3000    0.3198
##      BSI          0.6482    0.5222    0.3497    0.2897
##
## Optimal Scores:
##
##           Score Method Clusters
## APN        0.0282 kmeans      2
## AD         13.4948 kmeans     4
## ADM        0.4979 kmeans     2
## FOM        1.7934 kmeans     5
## Connectivity 50.4683 kmeans   2
## Dunn       0.2673 kmeans     5
## Silhouette  0.2441 kmeans     2
## BHI        0.3198 kmeans     5
## BSI        0.6482 kmeans     2
##
## The overall optimal clustering method and number of clusters is:
##      kmeans-2
##
## The optimal list is:
##      kmeans-2 kmeans-3 kmeans-4 kmeans-5
##
##      Algorithm: CE
##      Distance: Spearman
##      Score:    2.58949
##      Iterations: 7

```

El resultado de la función para k-means es que el número óptimo de grupos es 2, mientras el segundo mejor es 3.

Las representaciones de estos dos algoritmos se presentan a continuación, estas son en forma de gráfico de dispersión sobre las componentes principales. Los puntos se agrupan por colores y mediante una elipse que recoge los grupos.

k=2

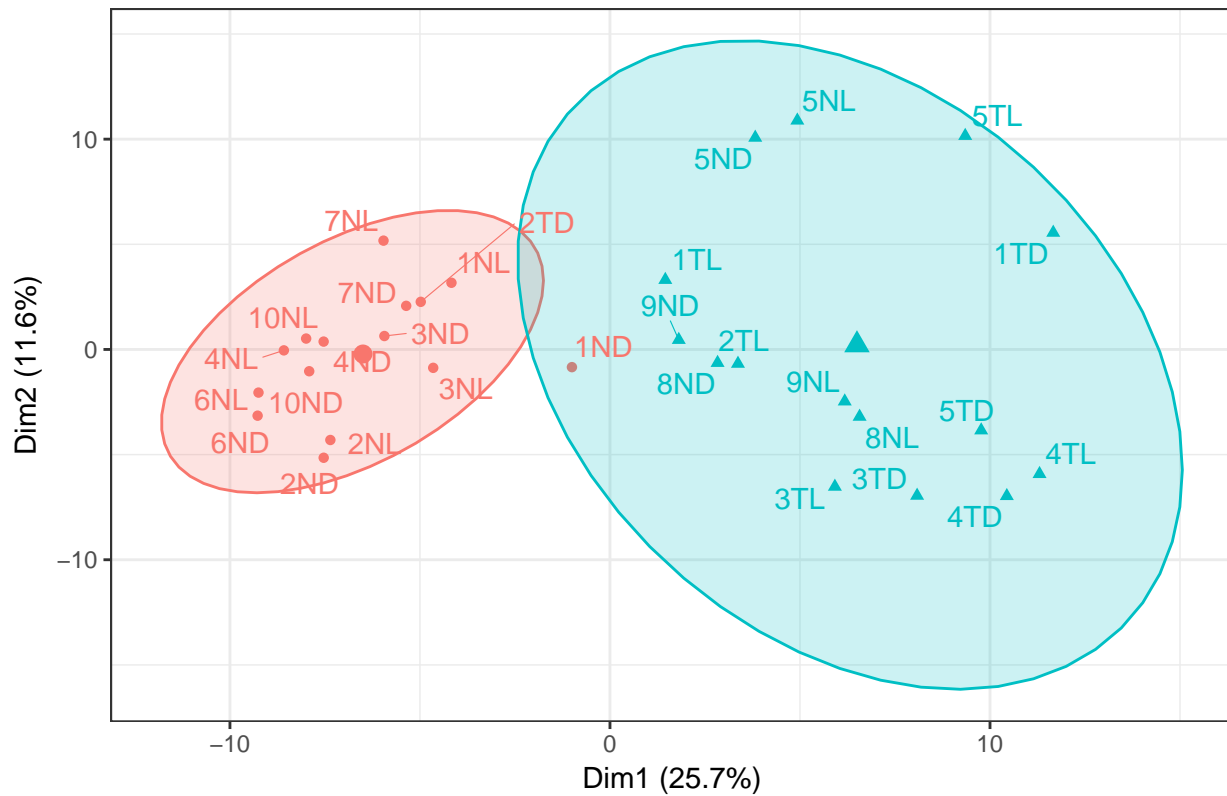
```

model1 <- kmeans(as.data.frame(data.t), 2, nstart = 1000)

fviz_cluster(object = model1, data = as.data.frame(data.t), ellipse.type = "t",
             repel = TRUE) + theme_bw() + theme(legend.position = "none")

```

Cluster plot

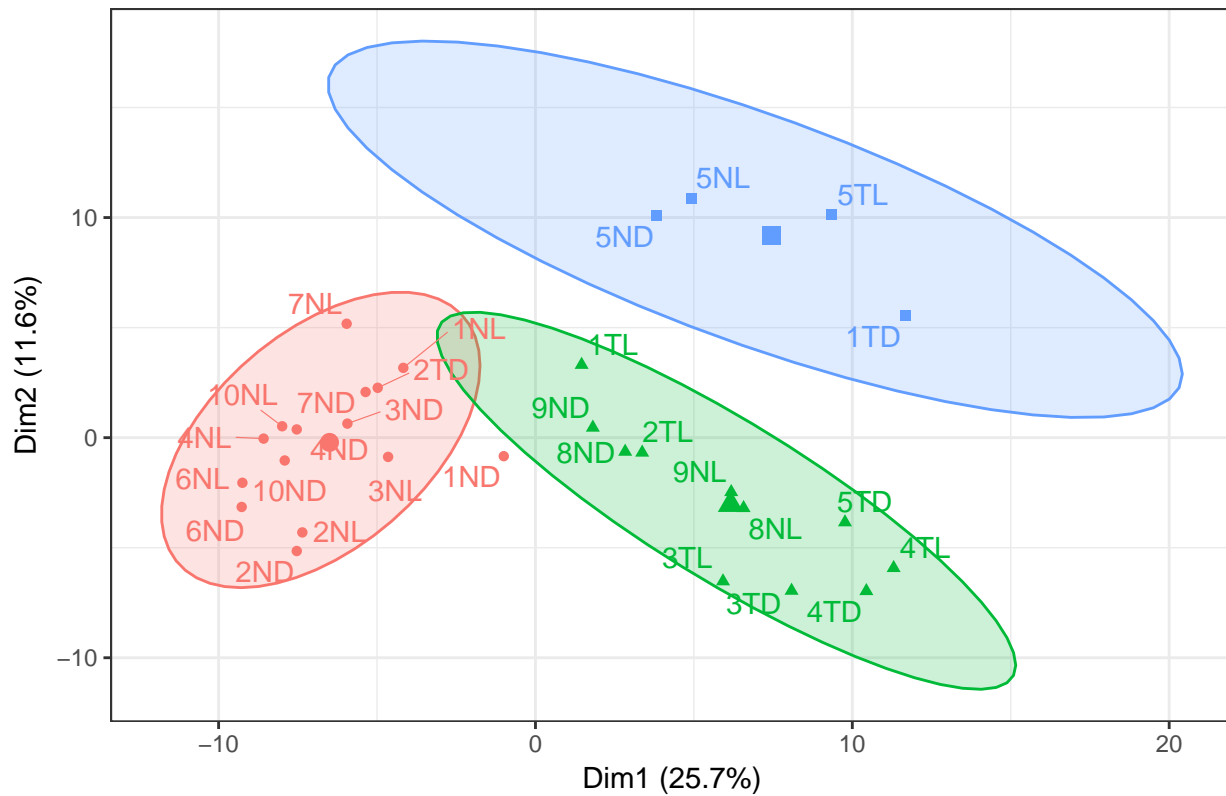


k=3

```
model2 <- kmeans(as.data.frame(data.t), 3, nstart = 1000)

fviz_cluster(object = model2, data = as.data.frame(data.t), ellipse.type = "t",
             repel = TRUE) + theme_bw() + theme(legend.position = "none")
```

Cluster plot



CLARA

Obtención de el número óptimo de grupos

```
optresult <- optCluster(data[, ], 2:5, clMethods = c("clara"), validation = "all",
    annotation = "hgu133plus2.db", seed = 123, maxIter = 1000)
summary(optresult)
```

```
##
## Clustering Methods:
##   clara
##
## Cluster sizes:
##   2 3 4 5
##
## Validation Measures:
##
```

	2	3	4	5
## clara APN	0.0976	0.1244	0.1567	0.2666
## AD	15.2201	14.5017	14.0634	14.0022
## ADM	1.3460	1.6016	1.9604	3.2442
## FOM	2.0192	1.9459	1.9120	1.8651
## Connectivity	49.8504	108.1881	146.6877	157.2016
## Dunn	0.2614	0.2221	0.2313	0.2454

```

##      Silhouette      0.2469    0.1558    0.1089    0.0947
##      BHI            0.2947    0.2989    0.2957    0.2927
##      BSI            0.6355    0.4462    0.3524    0.2987
##
## Optimal Scores:
##
##          Score Method Clusters
## APN      0.0976  clara      2
## AD       14.0022  clara      5
## ADM      1.3460  clara      2
## FOM      1.8651  clara      5
## Connectivity 49.8504  clara      2
## Dunn     0.2614  clara      2
## Silhouette 0.2469  clara      2
## BHI      0.2989  clara      3
## BSI      0.6355  clara      2
##
## The overall optimal clustering method and number of clusters is:
##      clara-2
##
## The optimal list is:
##      clara-2 clara-3 clara-4 clara-5
##
## Algorithm: CE
## Distance: Spearman
## Score: 1.951488
## Iterations: 7

```

La mejores eficiencias de este algoritmos se consiguen a valores de 2 y 3 grupos. La representación es similar a la realizada en k-means.

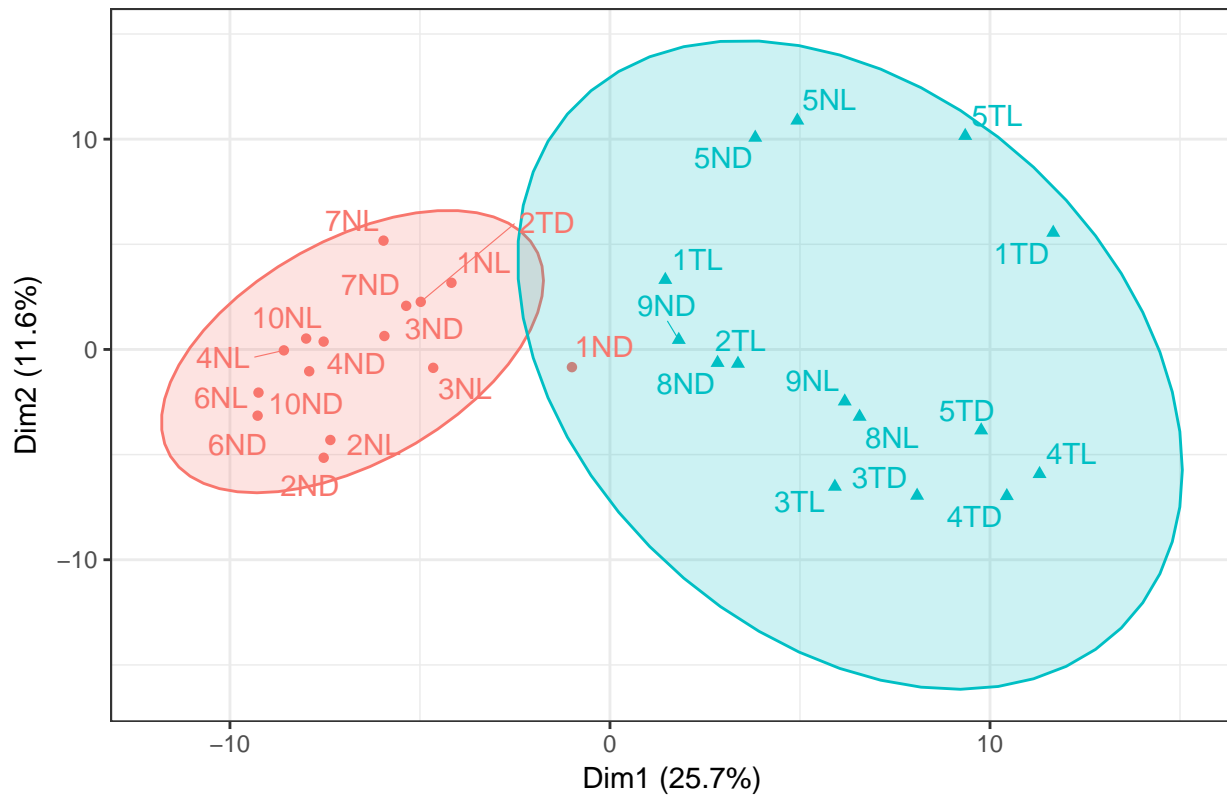
k=2

```

clara1 <- clara(as.data.frame(data.t), k = 2, metric = "euclidean", samples = 1000,
                 pamLike = TRUE, stand = TRUE)
fviz_cluster(object = clara1, data = as.data.frame(data.t), ellipse.type = "t",
             repel = TRUE) + theme_bw() + theme(legend.position = "none")

```

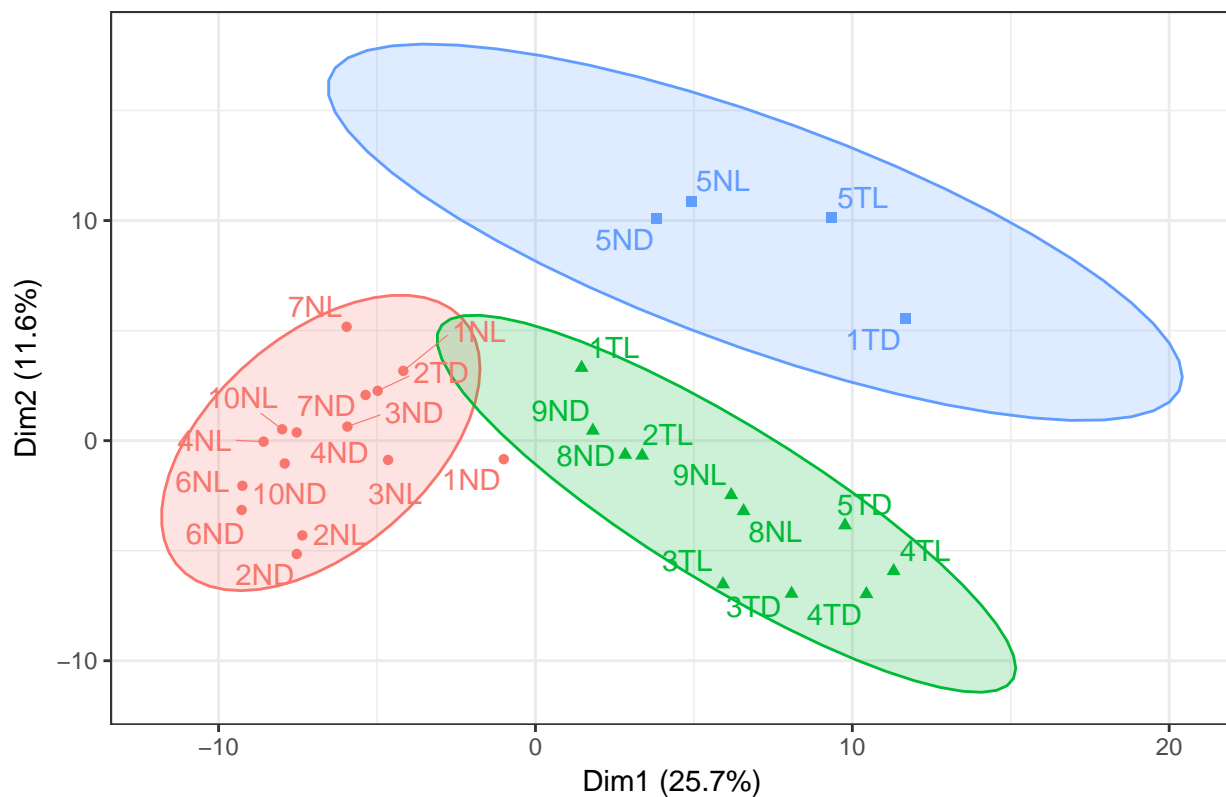
Cluster plot



k=3

```
clara2 <- clara(as.data.frame(data.t), k = 3, metric = "euclidean", samples = 1000,
  pamLike = TRUE, stand = TRUE)
fviz_cluster(object = clara2, data = as.data.frame(data.t), ellipse.type = "t",
  repel = TRUE) + theme_bw() + theme(legend.position = "none")
```

Cluster plot



PAM

Obtención del número óptimo de grupos

```
optresult <- optCluster(data[, ], 2:5, clMethods = c("pam"), validation = "all",
    annotation = "hgu133plus2.db", seed = 123, maxIter = 1000)
summary(optresult)
```

```
##
## Clustering Methods:
##   pam
##
## Cluster sizes:
##   2 3 4 5
##
## Validation Measures:
##
```

	2	3	4	5
## pam APN	0.3060	0.0587	0.0751	0.2126
## AD	16.3082	14.3226	13.6458	13.6166
## ADM	5.0172	0.6924	0.9642	2.3409
## FOM	2.1775	1.9375	1.8650	1.8423
## Connectivity	75.9627	119.0417	133.8817	146.6389
## Dunn	0.1592	0.2024	0.2046	0.2203

```

##      Silhouette      0.2093    0.1401    0.1293    0.1255
##      BHI            0.2887    0.2915    0.2870    0.2932
##      BSI            0.5880    0.4612    0.3466    0.2809
##
## Optimal Scores:
##
##          Score Method Clusters
## APN      0.0587    pam      3
## AD       13.6166   pam      5
## ADM      0.6924    pam      3
## FOM      1.8423    pam      5
## Connectivity 75.9627 pam      2
## Dunn     0.2203    pam      5
## Silhouette 0.2093    pam      2
## BHI      0.2932    pam      5
## BSI      0.5880    pam      2
##
## The overall optimal clustering method and number of clusters is:
##      pam-3
##
## The optimal list is:
##      pam-3 pam-5 pam-4 pam-2
##
## Algorithm: CE
## Distance: Spearman
## Score: 2.056702
## Iterations: 7

```

Para el algoritmo PAM los valores óptimos de grupos son 3 y 5. Su representación es en forma de gráfico de dispersión.

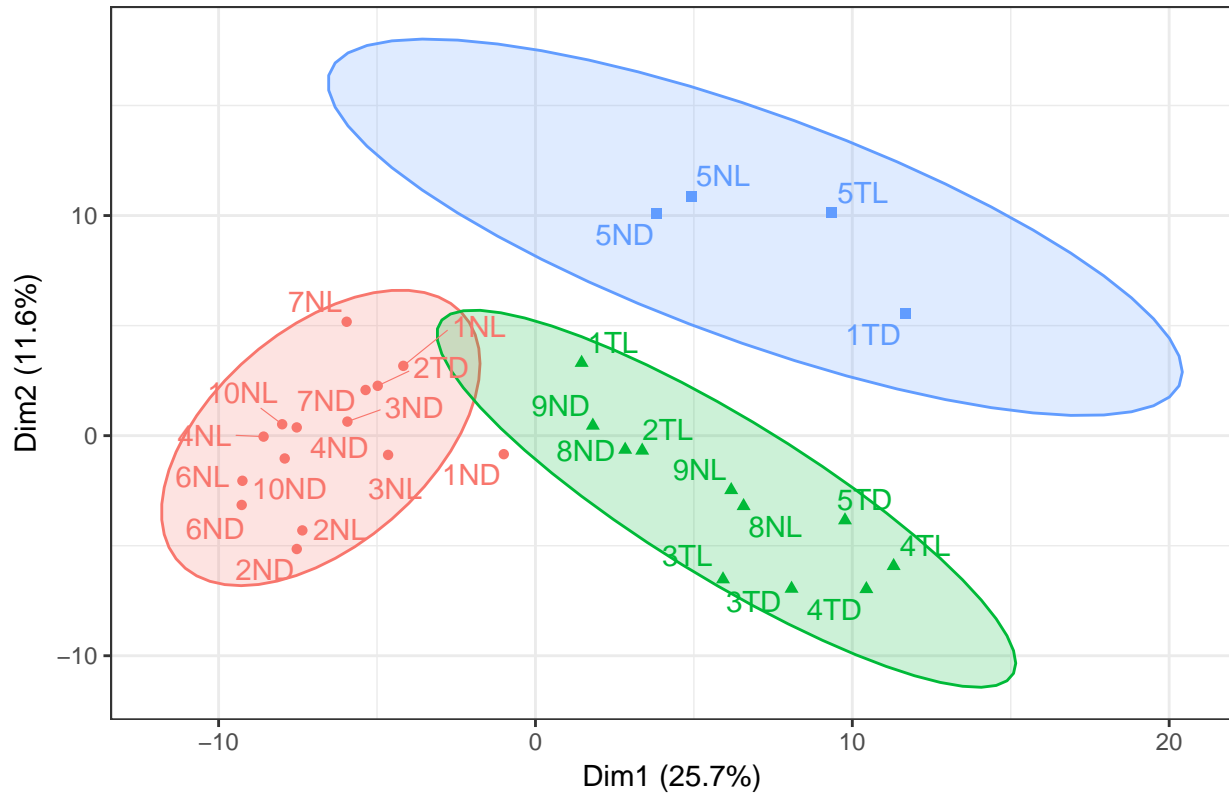
k=3

```

pam1 <- pam(as.data.frame(data.t), 3, diss = FALSE, metric = "euclidean")
fviz_cluster(object = pam1, data = as.data.frame(data.t), ellipse.type = "t",
             repel = TRUE) + theme_bw() + theme(legend.position = "none")

```

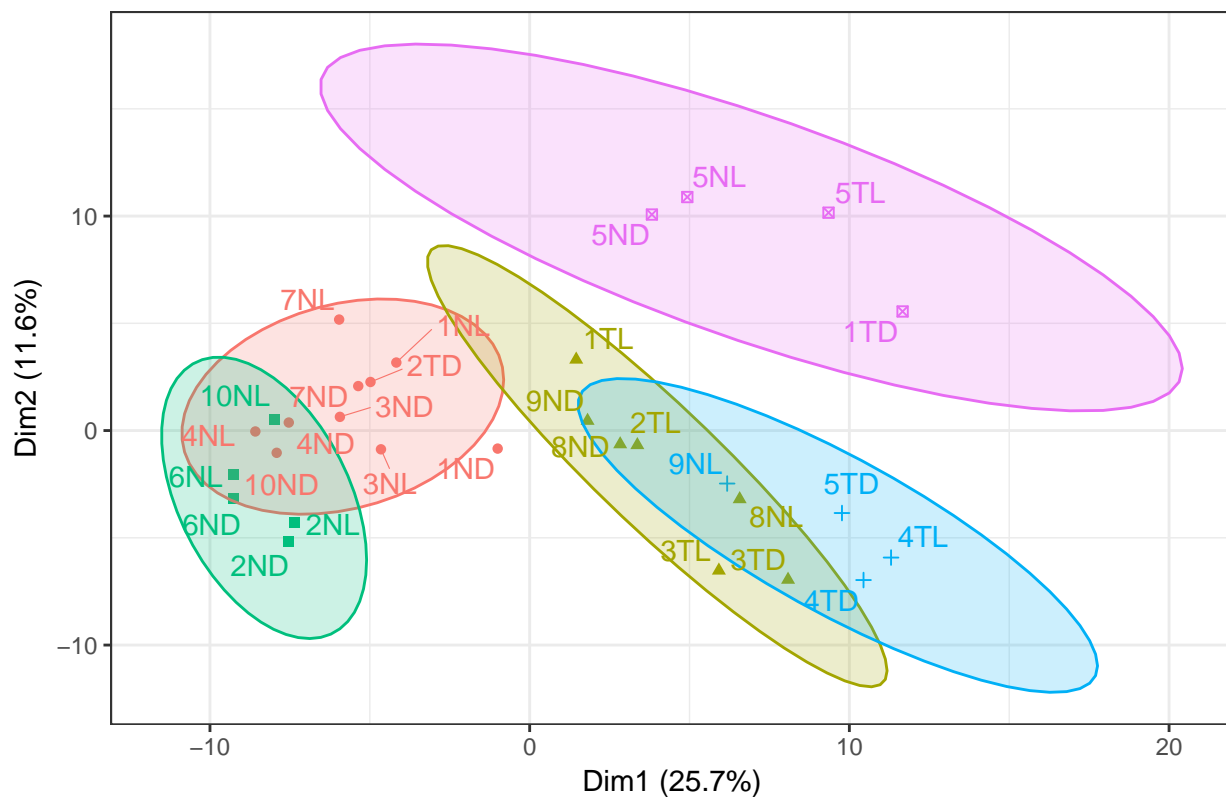
Cluster plot



k=5

```
pam2 <- pam(as.data.frame(data.t), 5, diss = FALSE, metric = "euclidean")
fviz_cluster(object = pam2, data = as.data.frame(data.t), ellipse.type = "t",
             repel = TRUE) + theme_bw() + theme(legend.position = "none")
```

Cluster plot



Model-based

Obtención de el número óptimo de grupos

```
optresult <- optCluster(data[, ], 2:5, clMethods = c("model"), validation = "all",
    annotation = "hgu133plus2.db", seed = 123, maxIter = 1000)
summary(optresult)
```

```
##
## Clustering Methods:
##   model
##
## Cluster sizes:
##   2 3 4 5
##
## Validation Measures:
##
```

	2	3	4	5
## model APN	0.1747	0.2489	0.3190	0.3820
## AD	15.8937	15.1637	14.9657	14.8716
## ADM	2.1353	2.8552	3.7156	4.4088
## FOM	2.0919	1.9953	1.9827	1.9594
## Connectivity	72.6036	103.7829	105.3833	150.8587
## Dunn	0.1553	0.1767	0.2343	0.2051

```

##      Silhouette    0.1664   0.1406   0.1237   0.0979
##      BHI          0.2801   0.2981   0.3337   0.3179
##      BSI          0.6589   0.4603   0.3791   0.3336
##
## Optimal Scores:
##
##           Score Method Clusters
## APN       0.1747 model      2
## AD        14.8716 model      5
## ADM       2.1353 model      2
## FOM       1.9594 model      5
## Connectivity 72.6036 model      2
## Dunn      0.2343 model      4
## Silhouette 0.1664 model      2
## BHI       0.3337 model      4
## BSI       0.6589 model      2
##
## The overall optimal clustering method and number of clusters is:
##      model=2
##
## The optimal list is:
##      model=2 model=4 model=3 model=5
##
##      Algorithm: CE
##      Distance: Spearman
##      Score: 2.644534
##      Iterations: 7

```

El algoritmo model-based tiene varias peculiaridades, ya que tiene diversos modelos a seguir, pero en este caso la función sólo elige los mejores valores de número de grupos, en este caso 2 y 4. En la representación la función mclust elige para cada k el mejor modelo, por lo que no habrá problemas con estas peculiaridades.

k=2

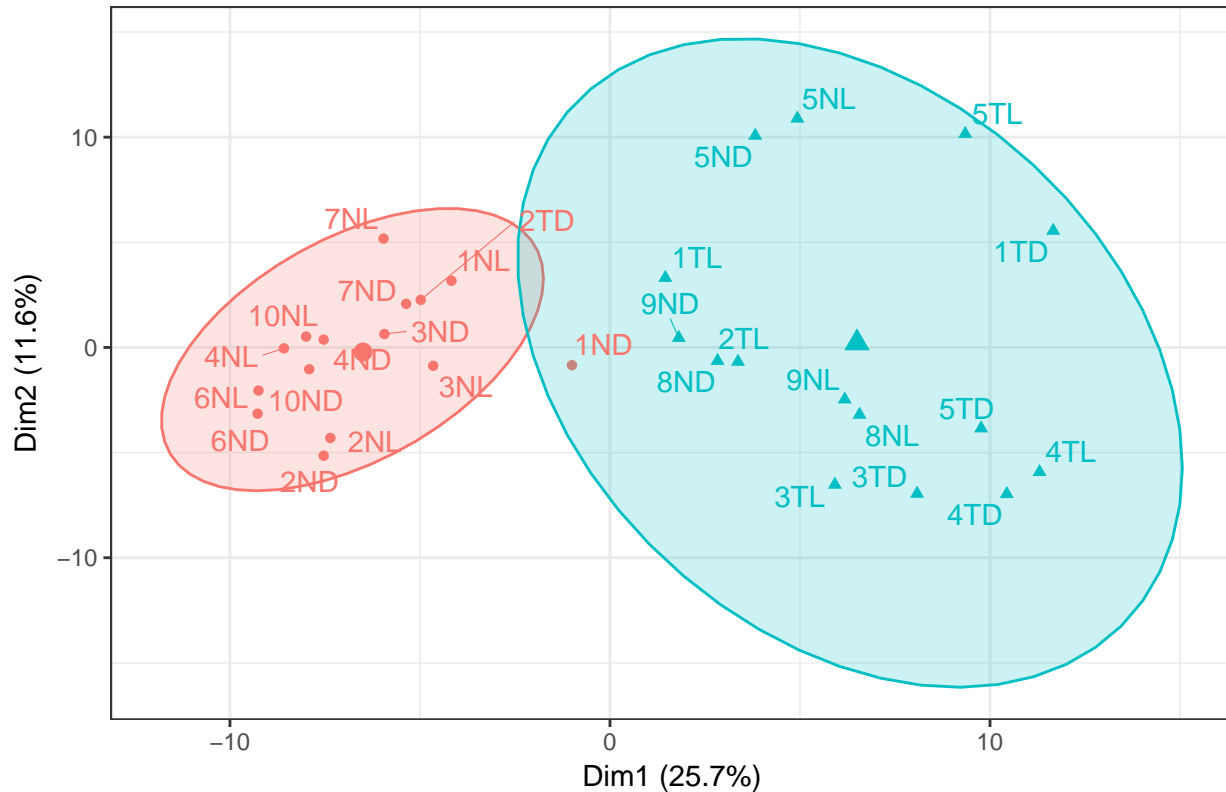
```

library(mclust)
model1 <- Mclust(data.t, G = 2)
model1

## 'Mclust' model object:
## best model: spherical, equal volume (EII) with 2 components
fviz_cluster(object = model1, repel = TRUE, ellipse.type = "t", pallete = "jco") +
  theme_bw() + theme(legend.position = "none")

```

Cluster plot



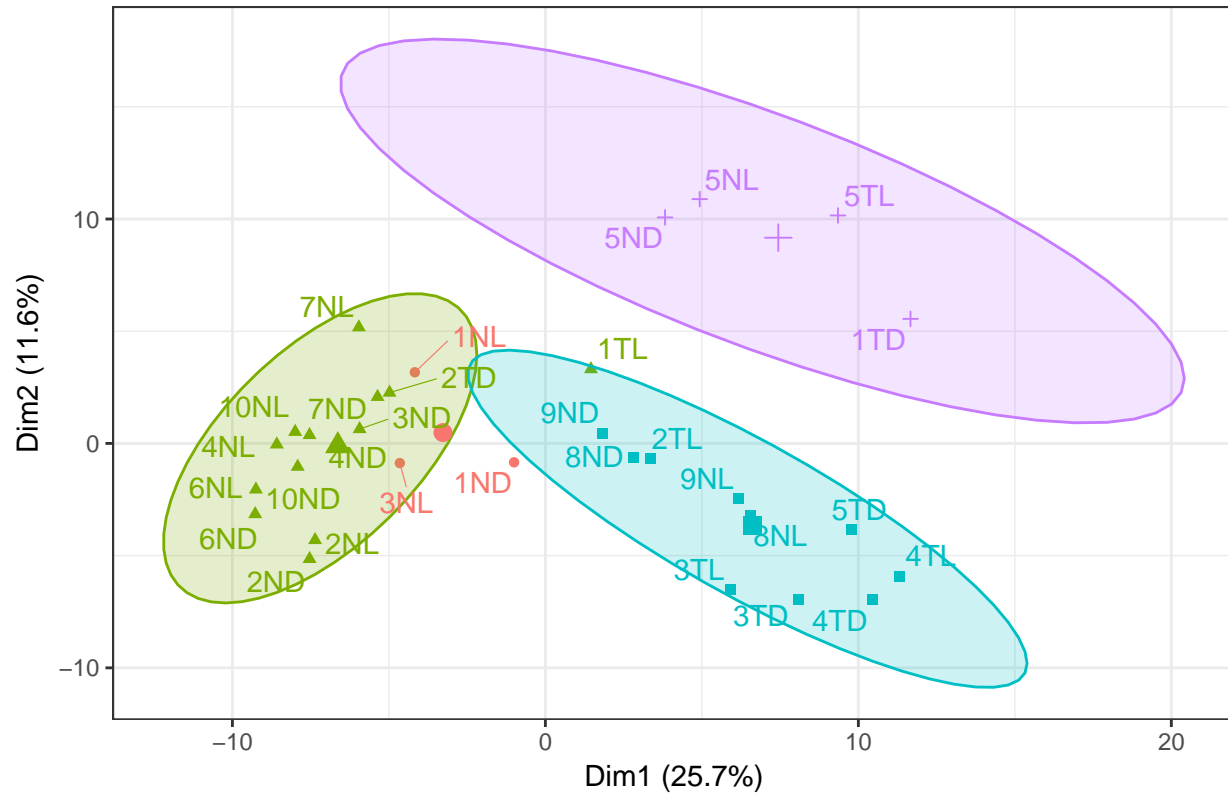
k=4

```
model1 <- Mclust(data.t, G = 4)
model1

## 'Mclust' model object:
## best model: spherical, varying volume (VII) with 4 components
fviz_cluster(object = model1, repel = TRUE, ellipse.type = "t", pallete = "jco") +
  theme_bw() + theme(legend.position = "none")

## Too few points to calculate an ellipse
```

Cluster plot



Comparativa de todos los algoritmos

Finalmente se utiliza de nuevo la función optCluster para comparar todos los algoritmos entre si. Para ello se indica en las opciones de la función los algoritmos elegidos, además como se han obtenido los grupos óptimos para cada uno de ellos se indica un valor de k entre el mínimo y el máximo elegido de todos ellos.

```
optresult <- optCluster(data[, 2:5], clMethods = c("model", "kmeans", "pam",
    "agnes", "diana", "hierarchical", "clara"), validation = "all", annotation = "hgu133plus2.db",
    seed = 123, maxIter = 1000, hierMethod = "complete")
summary(optresult)

##
## Clustering Methods:
## model kmeans pam agnes diana hierarchical clara
##
## Cluster sizes:
## 2 3 4 5
##
## Validation Measures:
##          2      3      4      5
## model   APN     0.1747  0.2489  0.3190  0.3820
##          AD     15.8937 15.1637 14.9657 14.8716
##          ADM    2.1353  2.8552  3.7156  4.4088
##          FOM    2.0919  1.9953  1.9827  1.9594
## Connectivity 72.6036 103.7829 105.3833 150.8587
```

##	Dunn	0.1553	0.1767	0.2343	0.2051
##	Silhouette	0.1664	0.1406	0.1237	0.0979
##	BHI	0.2801	0.2981	0.3337	0.3179
##	BSI	0.6589	0.4603	0.3791	0.3336
## kmeans	APN	0.0294	0.2513	0.1033	0.0914
##	AD	14.9964	14.8622	13.5890	13.0879
##	ADM	0.5145	3.8155	1.5546	1.0384
##	FOM	2.0256	1.9101	1.8250	1.7743
##	Connectivity	50.4683	101.7373	98.2528	107.9480
##	Dunn	0.2614	0.1927	0.2419	0.2673
##	Silhouette	0.2441	0.1276	0.1601	0.1529
##	BHI	0.2925	0.2904	0.3132	0.3277
##	BSI	0.6471	0.4463	0.3518	0.3089
## pam	APN	0.3060	0.0587	0.0751	0.2126
##	AD	16.3082	14.3226	13.6458	13.6166
##	ADM	5.0172	0.6924	0.9642	2.3409
##	FOM	2.1775	1.9375	1.8650	1.8423
##	Connectivity	75.9627	119.0417	133.8817	146.6389
##	Dunn	0.1592	0.2024	0.2046	0.2203
##	Silhouette	0.2093	0.1401	0.1293	0.1255
##	BHI	0.2887	0.2915	0.2870	0.2932
##	BSI	0.5880	0.4612	0.3466	0.2809
## agnes	APN	0.1417	0.2613	0.3927	0.4254
##	AD	15.8531	15.4282	15.0461	14.4532
##	ADM	2.0677	3.9373	4.5007	4.5357
##	FOM	2.0421	1.9810	1.9223	1.8586
##	Connectivity	26.1869	90.5337	91.2266	91.8960
##	Dunn	0.2168	0.2354	0.2382	0.2529
##	Silhouette	0.3040	0.1200	0.1235	0.1037
##	BHI	0.3514	0.3313	0.3556	0.3374
##	BSI	0.7196	0.5716	0.4291	0.3388
## diana	APN	0.0126	0.0473	0.0577	0.0975
##	AD	14.9668	14.1683	13.8255	13.5816
##	ADM	0.2382	0.6111	0.8002	1.4599
##	FOM	2.0070	1.9222	1.8878	1.8532
##	Connectivity	36.8310	88.9401	93.6119	102.6702
##	Dunn	0.2525	0.2589	0.2880	0.2699
##	Silhouette	0.2502	0.1530	0.1515	0.1282
##	BHI	0.2924	0.2889	0.3350	0.3296
##	BSI	0.6682	0.4343	0.4161	0.3929
## hierarchical	APN	0.1417	0.2613	0.3927	0.4254
##	AD	15.8531	15.4282	15.0461	14.4532
##	ADM	2.0677	3.9373	4.5007	4.5357
##	FOM	2.0421	1.9810	1.9223	1.8586
##	Connectivity	26.1869	90.5337	91.2266	91.8960
##	Dunn	0.2168	0.2354	0.2382	0.2529
##	Silhouette	0.3040	0.1200	0.1235	0.1037
##	BHI	0.3514	0.3313	0.3556	0.3374
##	BSI	0.7196	0.5716	0.4291	0.3388
## clara	APN	0.0976	0.1244	0.1567	0.2666
##	AD	15.2201	14.5017	14.0634	14.0022
##	ADM	1.3460	1.6016	1.9604	3.2442
##	FOM	2.0192	1.9459	1.9120	1.8651
##	Connectivity	49.8504	108.1881	146.6877	157.2016

```

##          Dunn      0.2614  0.2221  0.2313  0.2454
##      Silhouette  0.2469  0.1558  0.1089  0.0947
##          BHI      0.2947  0.2989  0.2957  0.2927
##          BSI      0.6355  0.4462  0.3524  0.2987
##
## Optimal Scores:
##
##          Score      Method Clusters
## APN      0.0126      diana        2
## AD       13.0879     kmeans       5
## ADM      0.2382      diana        2
## FOM      1.7743      kmeans       5
## Connectivity 26.1869    agnes       2
## Dunn     0.2880      diana        4
## Silhouette 0.3040      agnes       2
## BHI      0.3556 hierarchical  4
## BSI      0.7196 hierarchical  2
##
## The overall optimal clustering method and number of clusters is:
##      diana-2
##
## The optimal list is:
##      diana-2 agnes-2 diana-4 hierarchical-2 kmeans-2 clara-2 diana-3 diana-5
##      kmeans-5 pam-3 kmeans-4 clara-3 pam-4 agnes-3 clara-4 hierarchical-3 agnes-4
##      hierarchical-4 agnes-5 pam-5 hierarchical-5 kmeans-3 model-4 clara-5
##      model-2 model-5 pam-2
##
##      Algorithm: CE
##      Distance: Spearman
##      Score: 63.1634
##      Iterations: 187

```

El resultado de la función deja claro que el mejor algoritmo es DIANA, ya que el algoritmo con $k=2$ es el más eficiente y el que utiliza $k=4$ es el tercero mejor, por lo cual queda definido como el mejor algoritmo para agrupar los datos de expresión génica de este tipo. También sería valorable utilizar el algoritmo AGNES con $k=2$ ya que se encuentra como el segundo mas eficiente.

En cuanto a los demás algoritmos, los primeros puestos de la lista de eficiencia están ocupados por la agrupación con $k=2$ de la mayoría de los otros algoritmos.